目次

研究発表 1 3

「地震被害を受けた鉄筋コンクリート部材におけるあと施工アンカーの付着特性」 室蘭工業大学 大学院工学研究科 もの創造系領域 教授 髙瀬 裕也 氏

「穿孔長が深い注入式接着系あと施工アンカーの充填不良による 空隙の検出手法の検討」

富山県立大学 工学部 環境社会基盤工学科 准教授 内田 慎哉 氏

研究発表 3 ………………… 25

「孔内清掃状態の異なる接着系あと施工アンカーの電磁パルス法による 施工完成度評価に関する研究」

大阪大学大学院工学研究科 地球総合工学専攻 特任研究員 服部 晋一 氏

研究発表

「地震被害を受けた鉄筋コンクリート部材におけるあと施工 アンカーの付着特性」

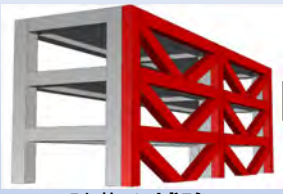
室蘭工業大学 大学院工学研究科 もの創造系領域 教授 髙瀬 裕也 氏

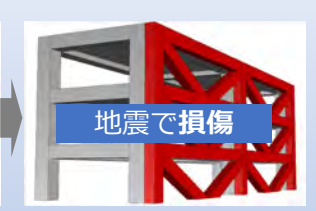
地震被害を受けた鉄筋コンクリート部材における あと施工アンカーの付着特性

室蘭工業大学 髙瀬 裕也

研究の背景

建物を補強した後に地震





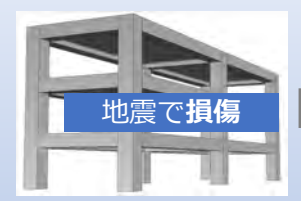
建物を補強

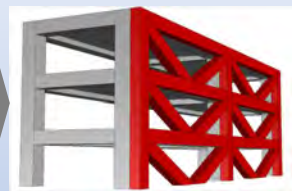
課題

補強部材があるため 既存部材の補修困難

未補修の性能を把握する 必要がある

地震で<u>損傷</u>した後に<u>補強</u>



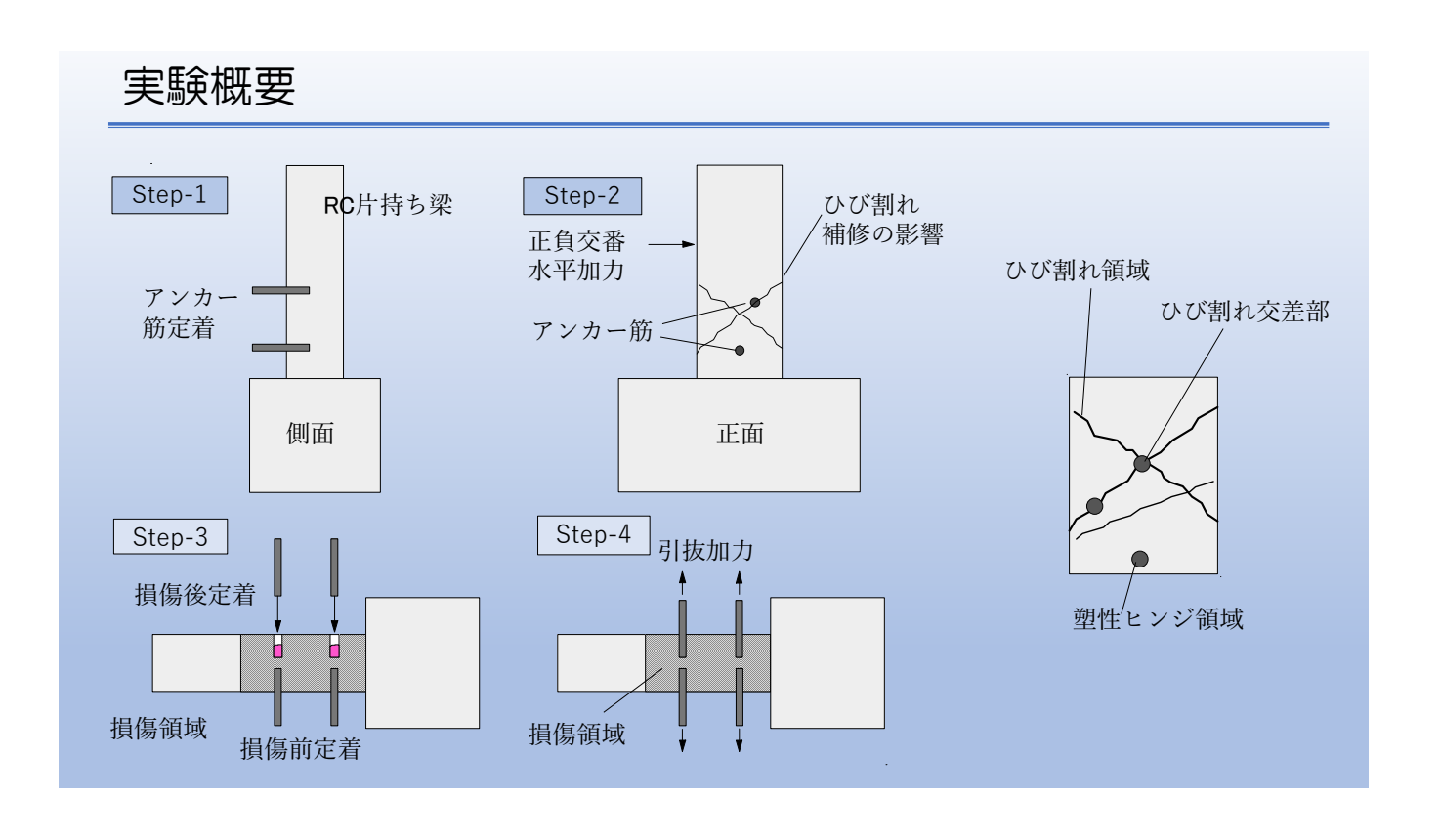


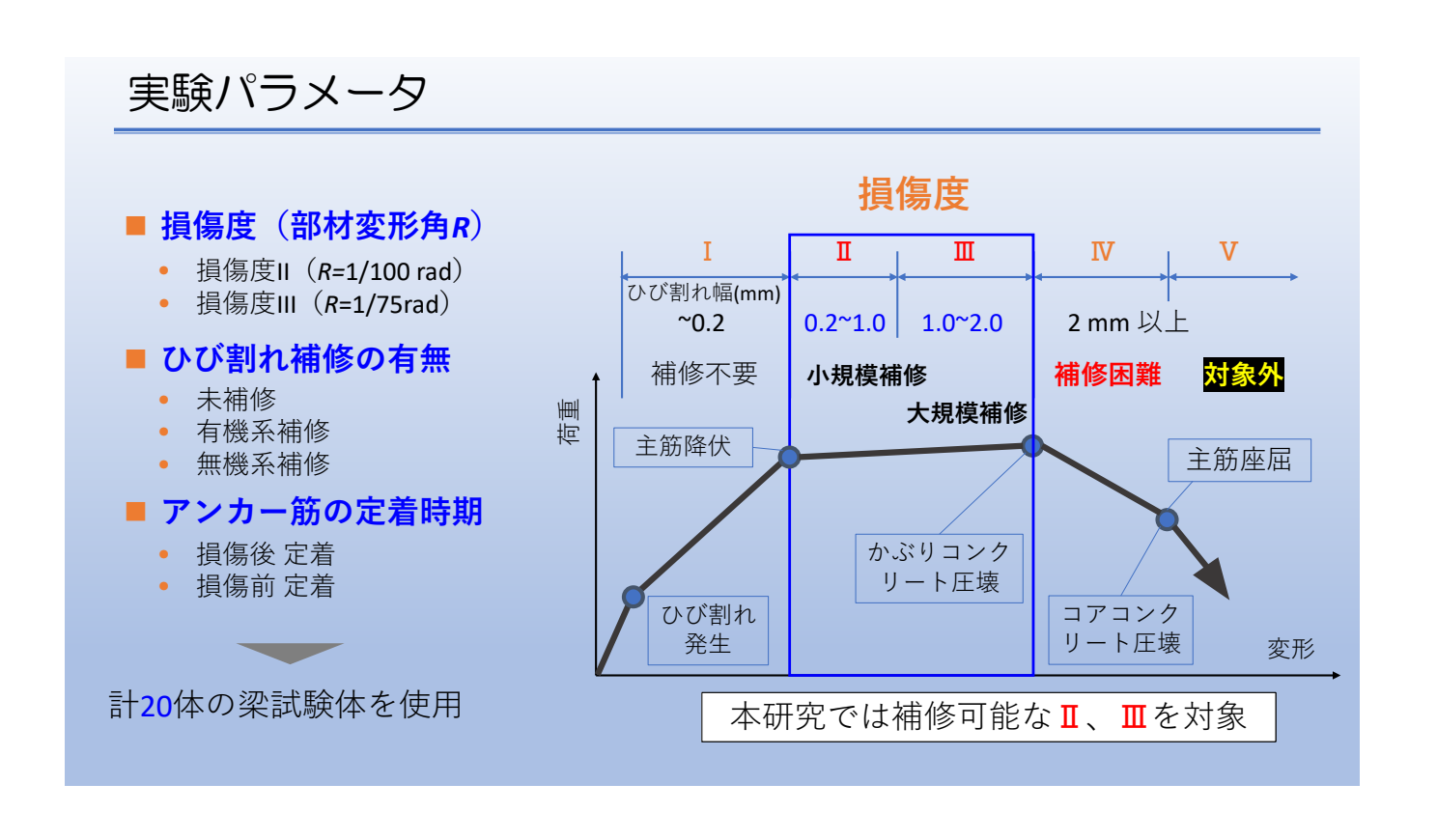
建物を補強

課題

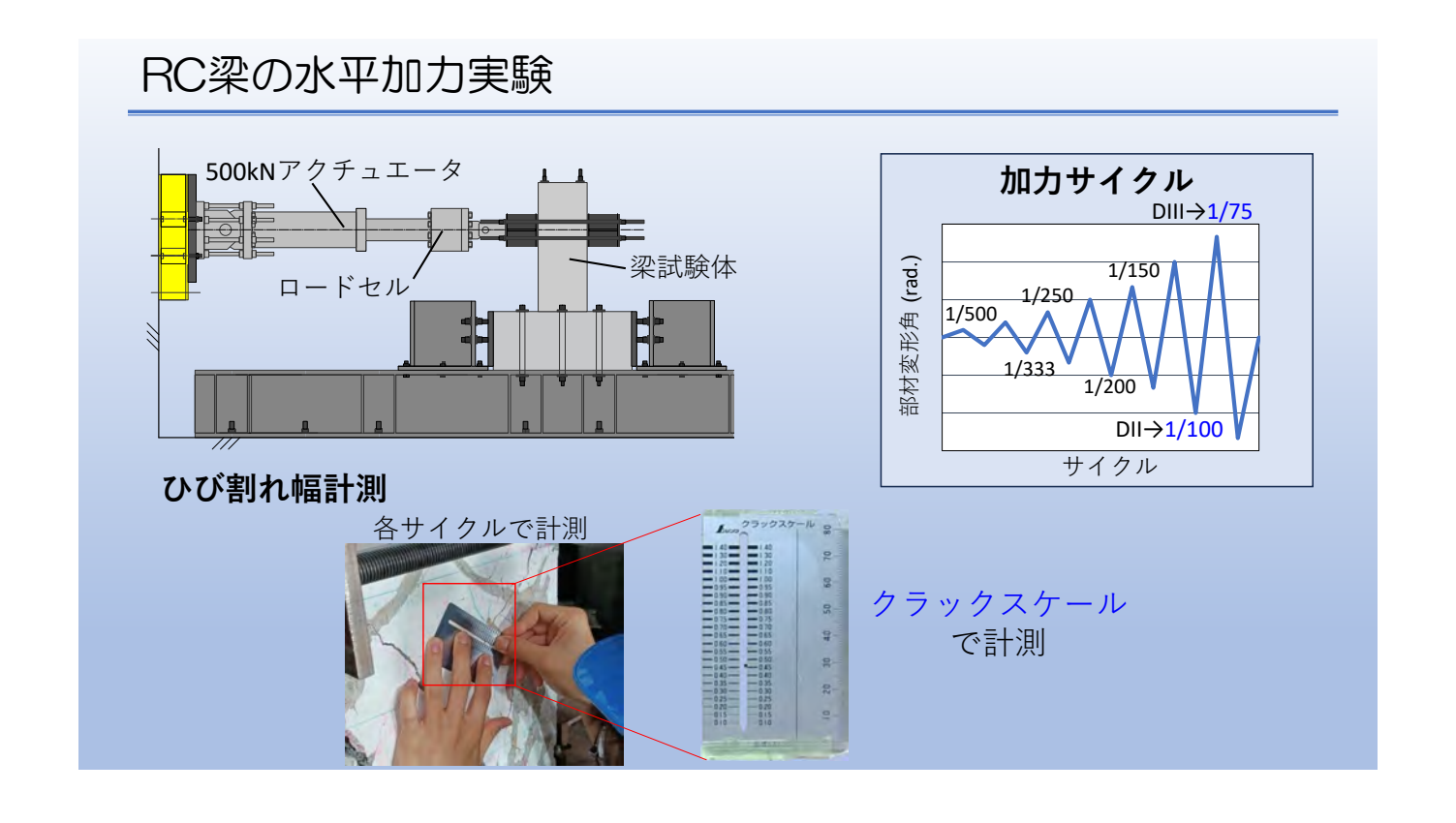
損傷した部材に定着

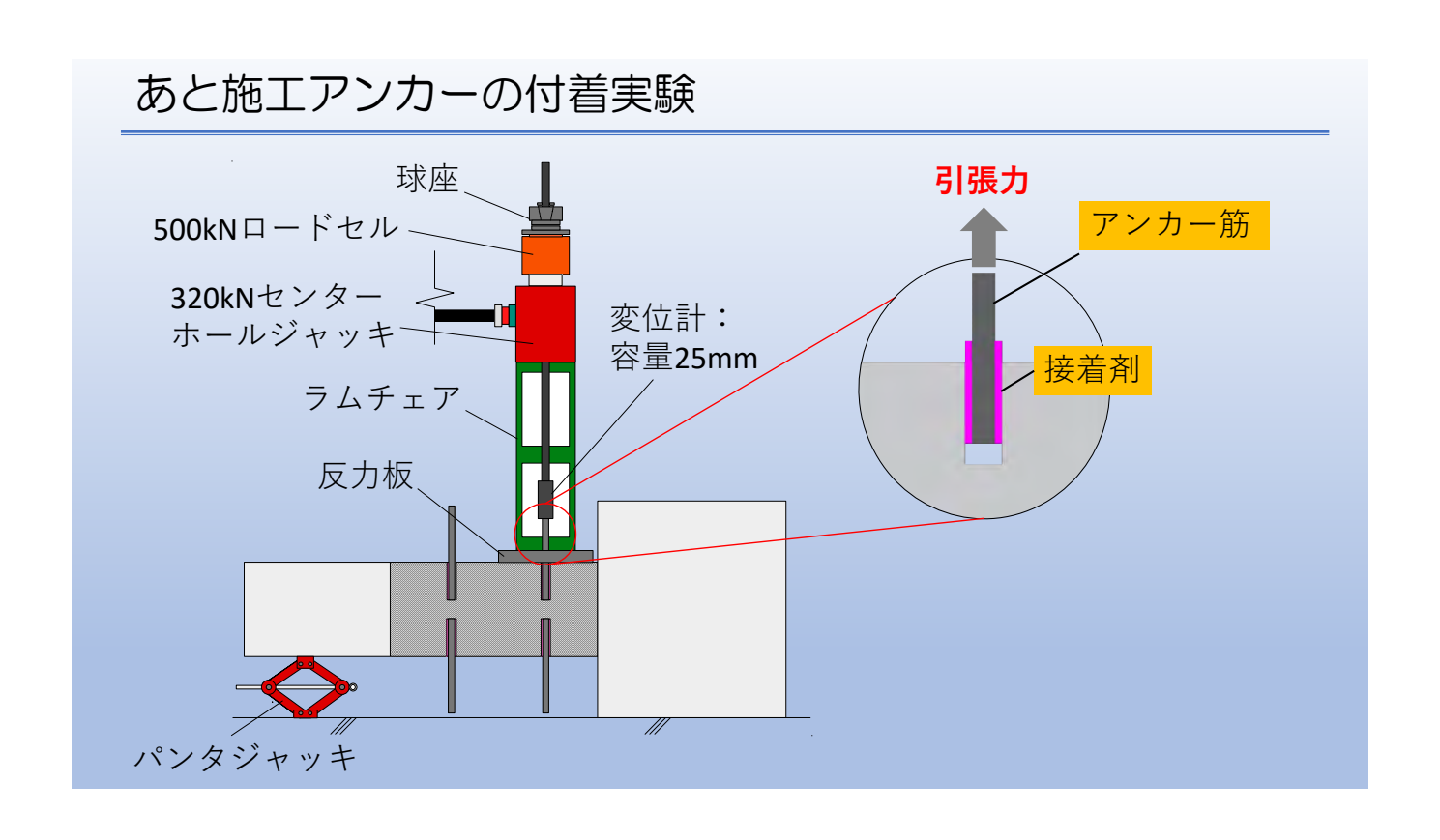
既存部材の損傷もしくはひび割れ 補修の効果を考慮して設計する 必要がある

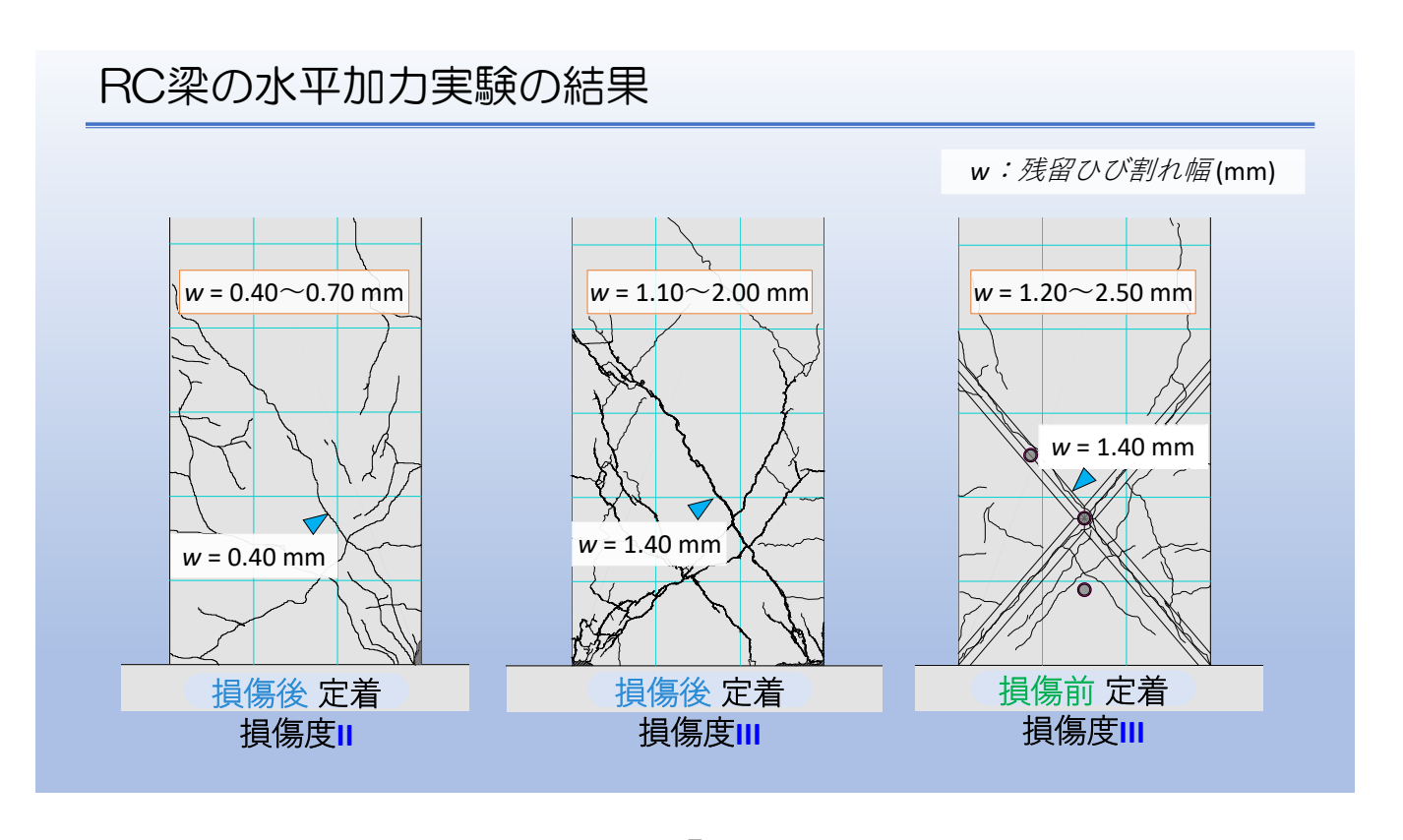




実験パラメータ 目地棒 (単位:mm) ■ 損傷度(部材変形角R) 210 • 損傷度II(*R*=1/100 rad) ひび割れを誘発 • 損傷度III(*R*=1/75rad) 4-D16 アンカー筋 ■ ひび割れ補修の有無 2-D6 未補修 • 有機系補修 加力軸 • 無機系補修 アンカー筋 ■ アンカー筋の定着時期 定着範囲 • 損傷後 定着 • 損傷前 定着 目地 計20体の梁試験体を使用 損傷後定着 損傷前定着

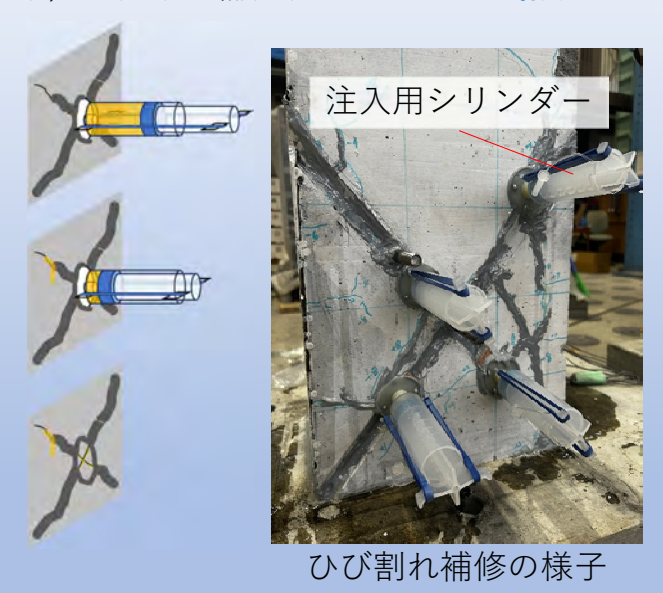


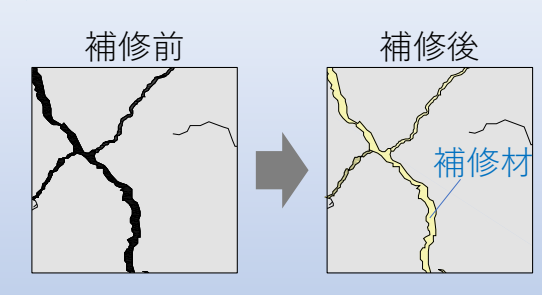




ひび割れ補修の手順

有機系,無機系の補修材を用いたひび割れ注入工法



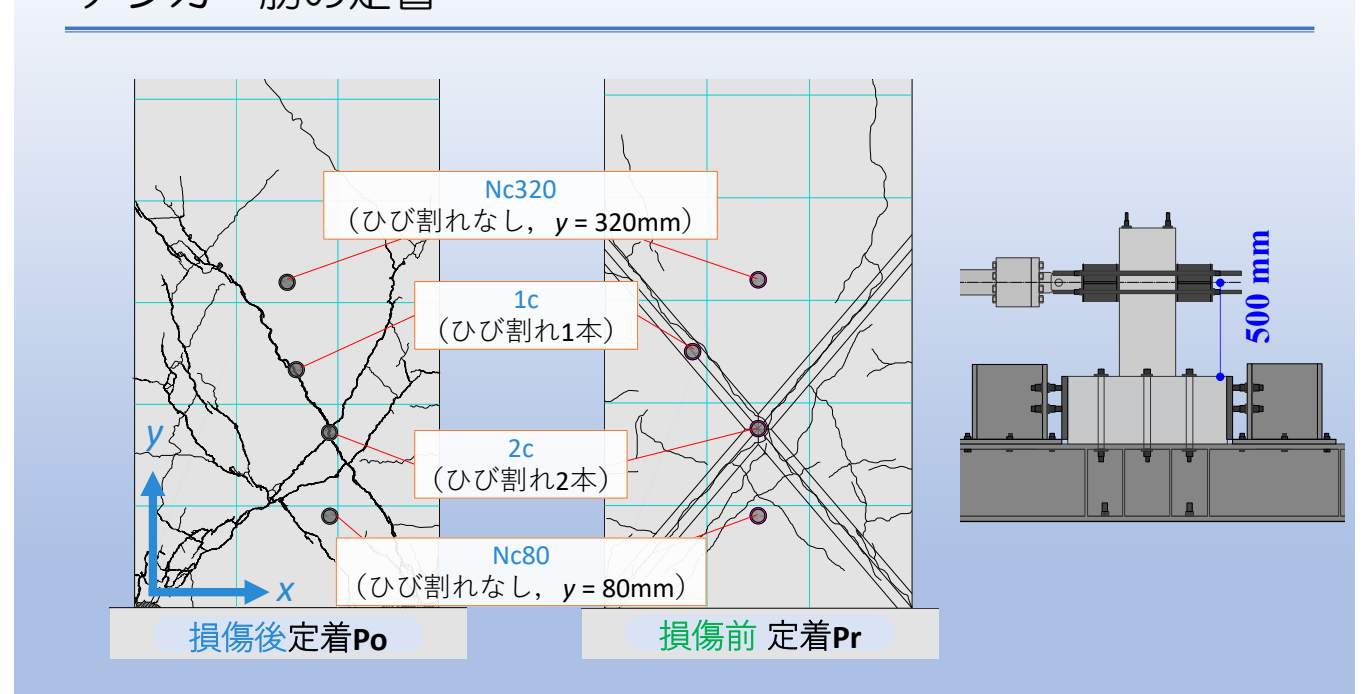


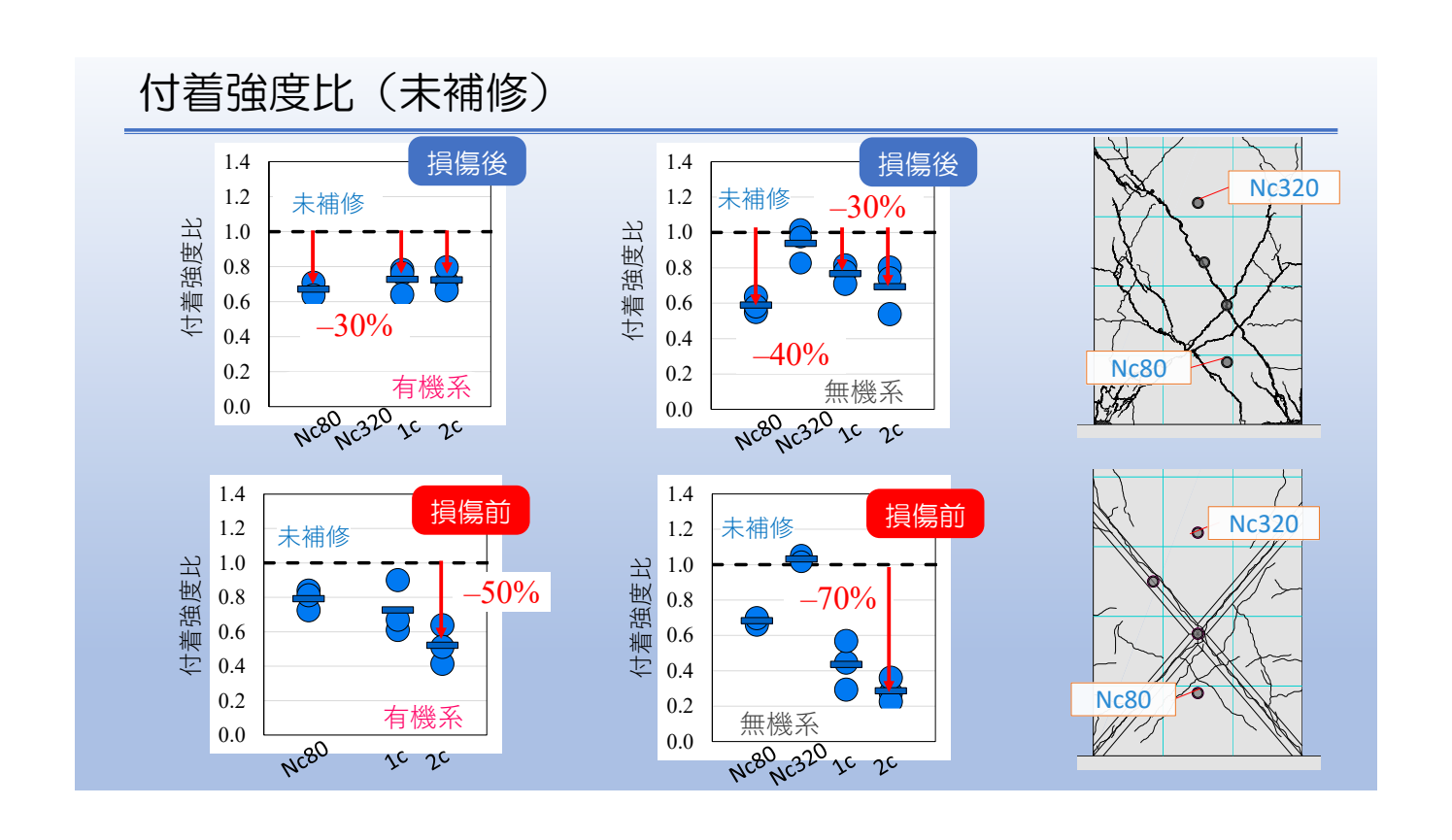
補修試験体

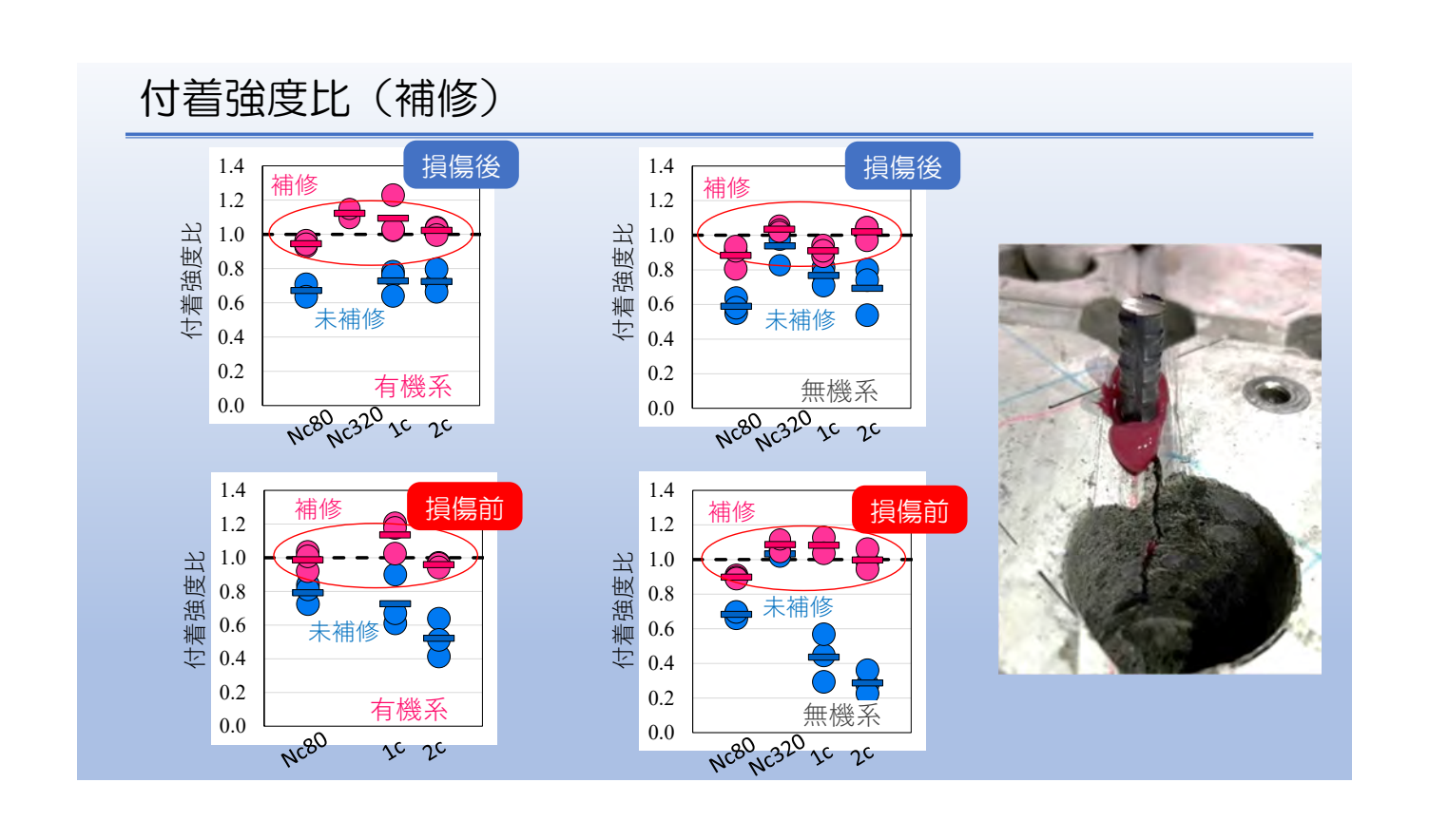
■ 損傷後 定着:4体 ■ 損傷前 定着:6体

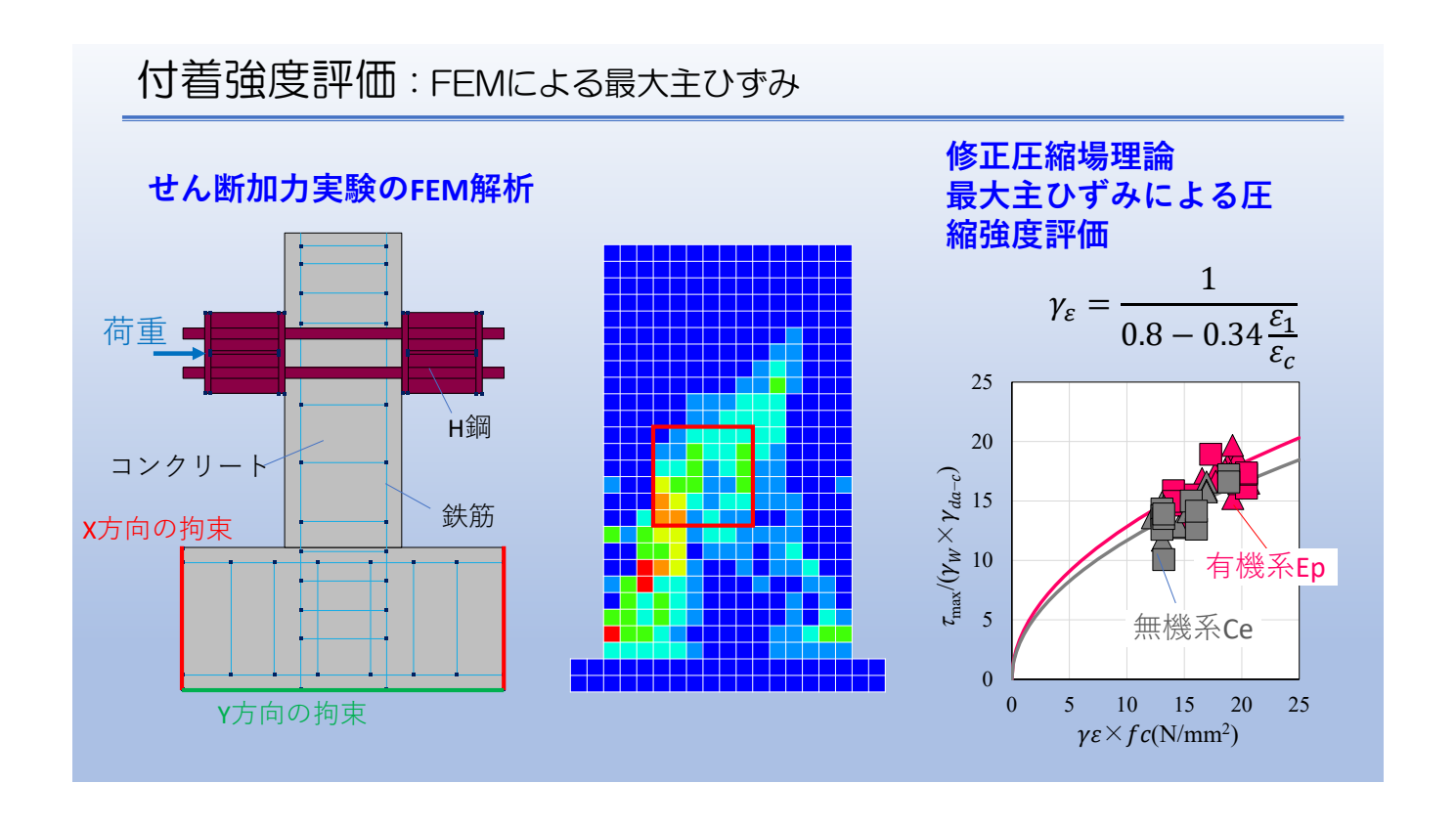
計10体の梁試験体を補修

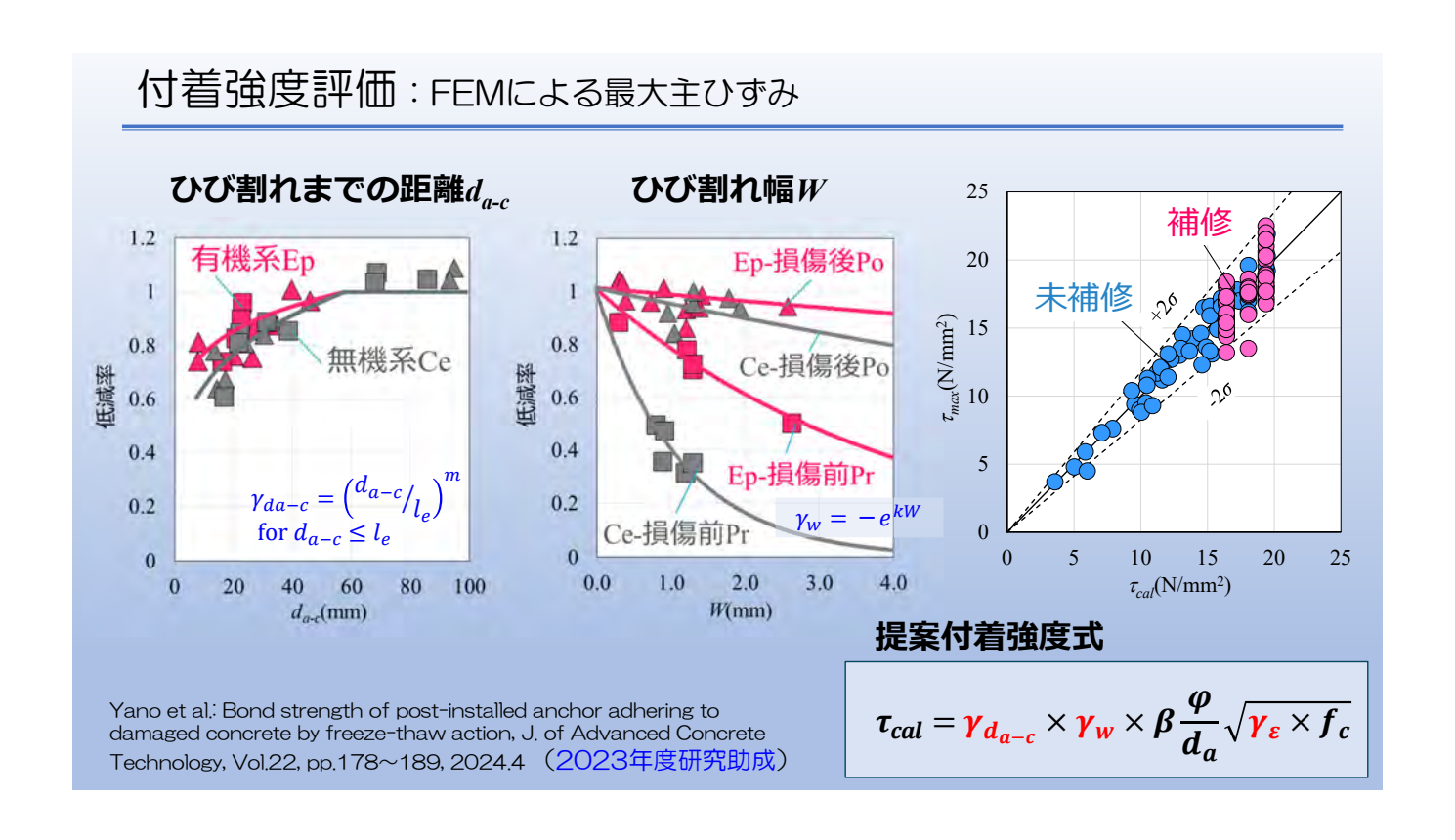
アンカー筋の定着

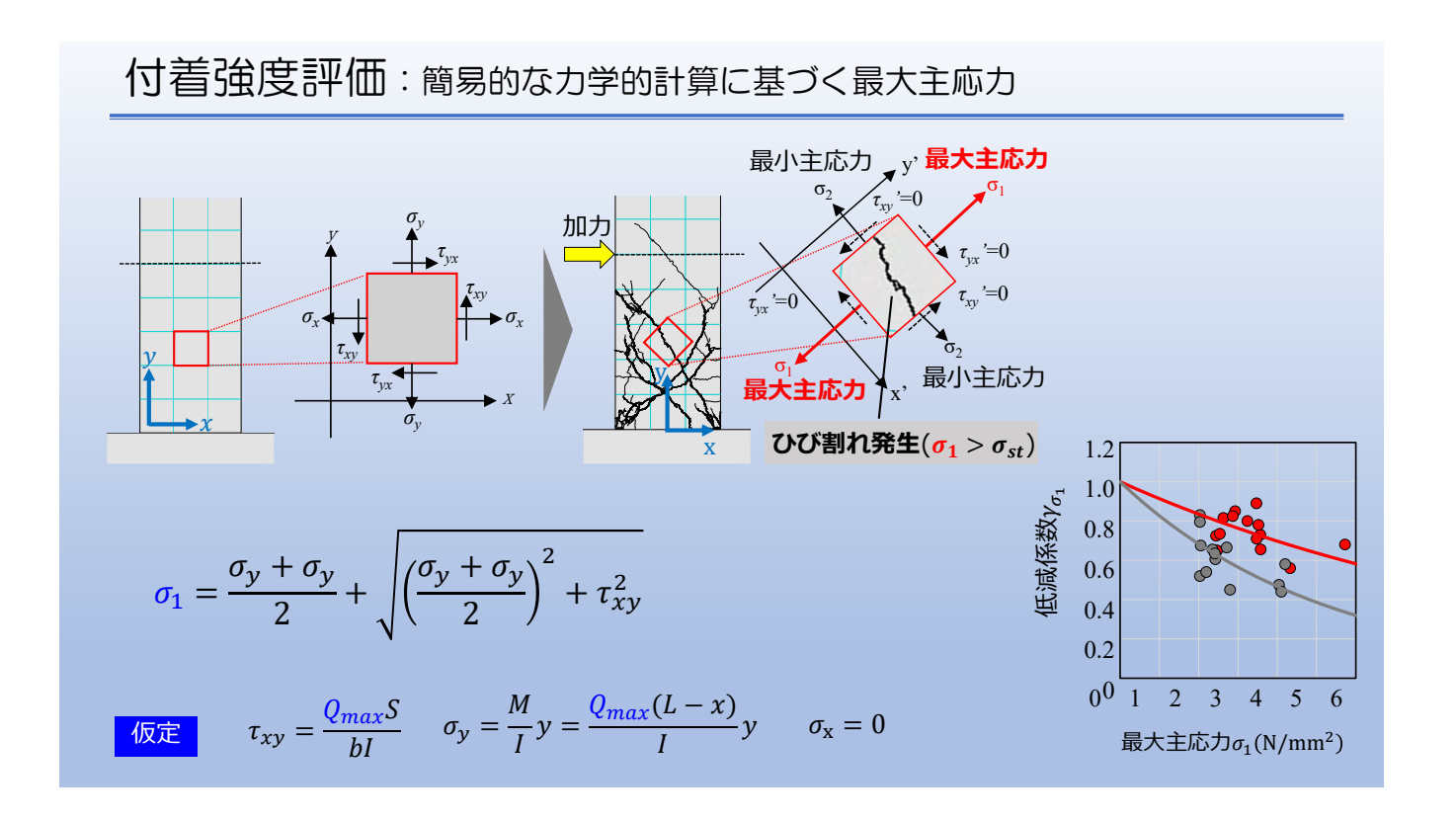


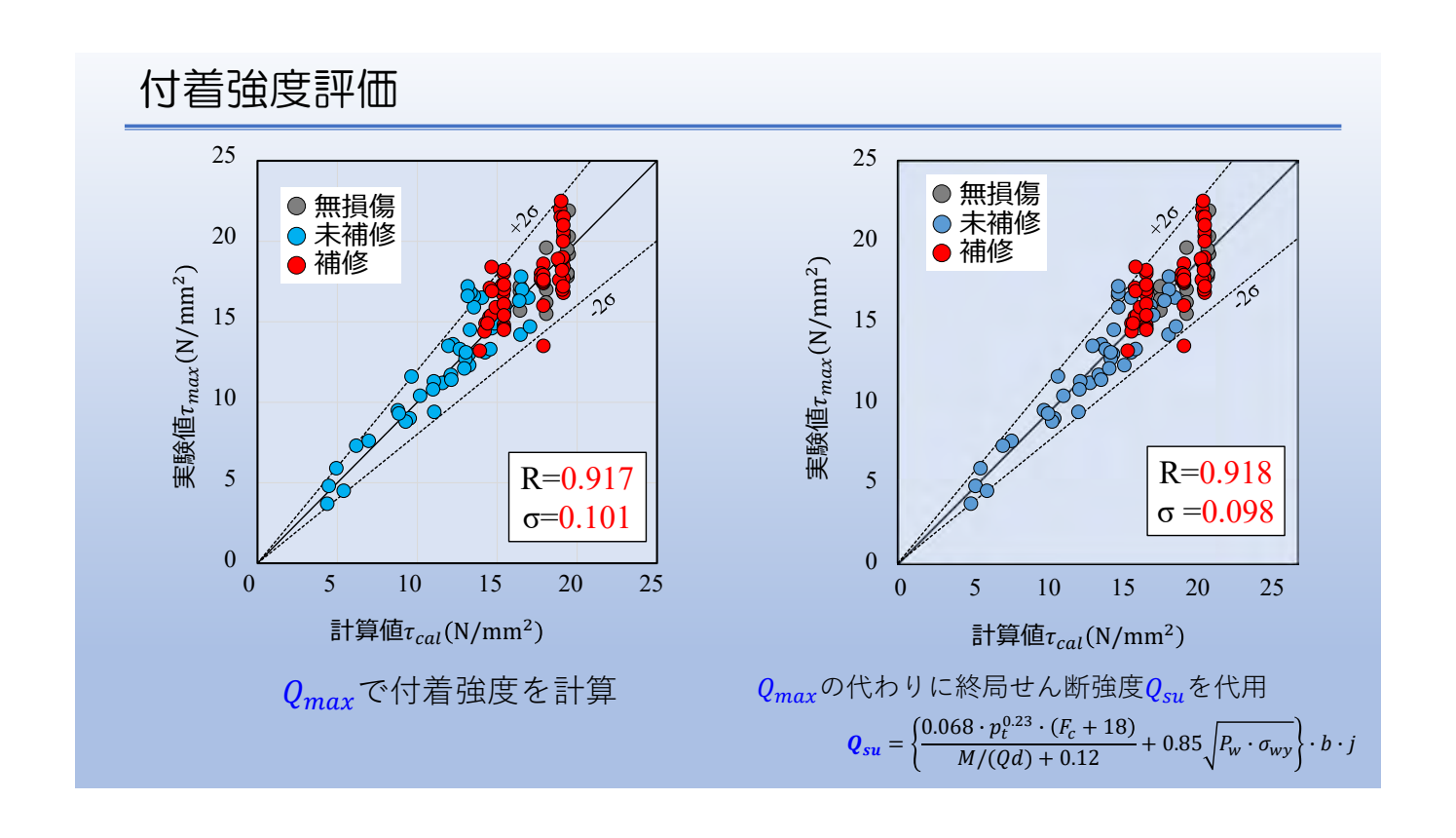












まとめ

- ✓ 水平荷重による損傷後に定着されたあと施工アンカーでは、付着強度が30%程度低下した。
- ✓ 水平荷重による損傷前に定着されたあと施工アンカーでは、付着強度が 50~70%程度低下した。
- ✓ ひび割れ補修することで、概ね元の付着強度まで回復した。
- ✓ 危険断面近傍に定着された接着系アンカーでは、付着強度が20~30%程度低下 し、ひび割れ補修しても元の強度まで回復しないケースもあった。
- ✓ コンクリートの損傷度合い(ひび割れ、最大主ひずみなど)を考慮することで、 損傷した部材に定着されたあと施工アンカーの付着強度を推定することが可能 である。

研究発表

2

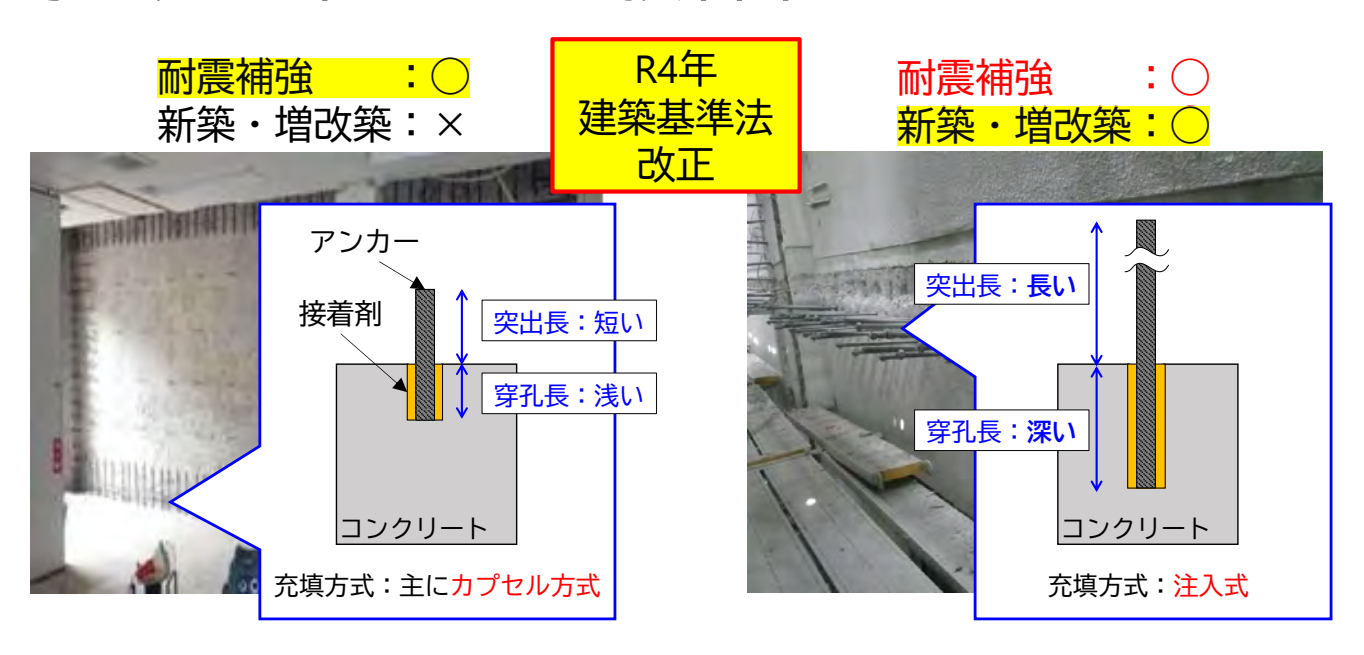
「穿孔長が深い注入式接着系あと施工アンカーの充填 不良による空隙の検出手法の検討」 富山県立大学 工学部 環境社会基盤工学科 准教授 内田 慎哉 氏

2025年 技術講演会 (一社)日本建設あと施工アンカー協会

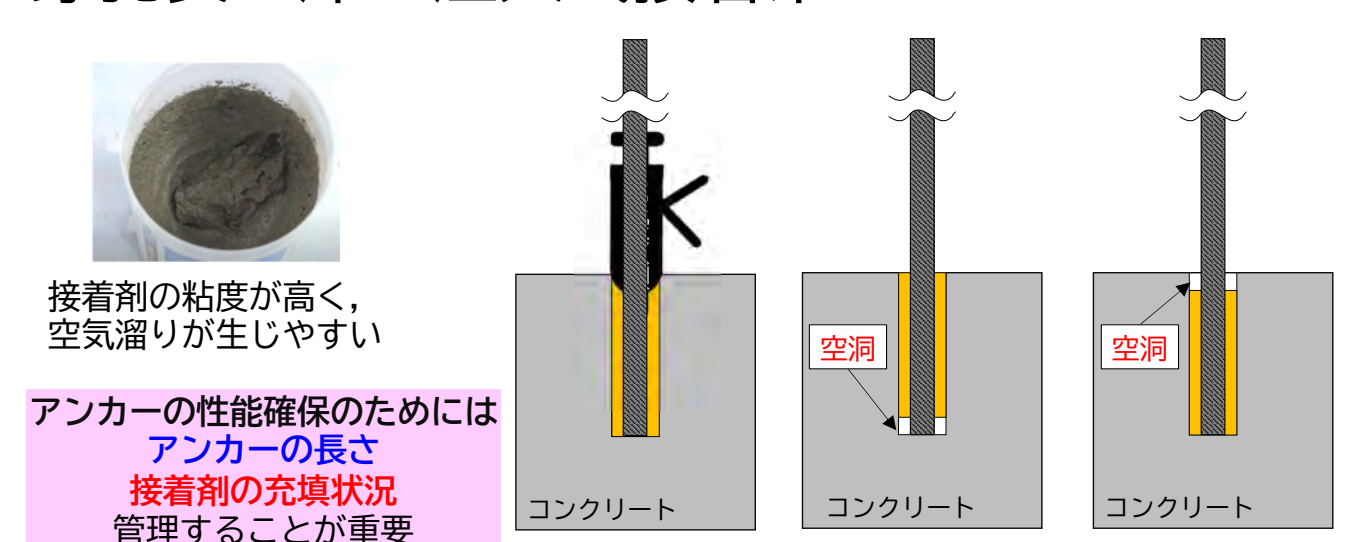
各種非破壊試験の併用による 穿孔長が深い注入式接着系アンカーの 健全性評価手法の開発

富山県立大学 内田慎哉

穿孔長が深い注入式接着系アンカー



穿孔長が深い注入式接着系アンカー



アンカーの長さ・接着剤充填状況を評価する手法の確立が求められる

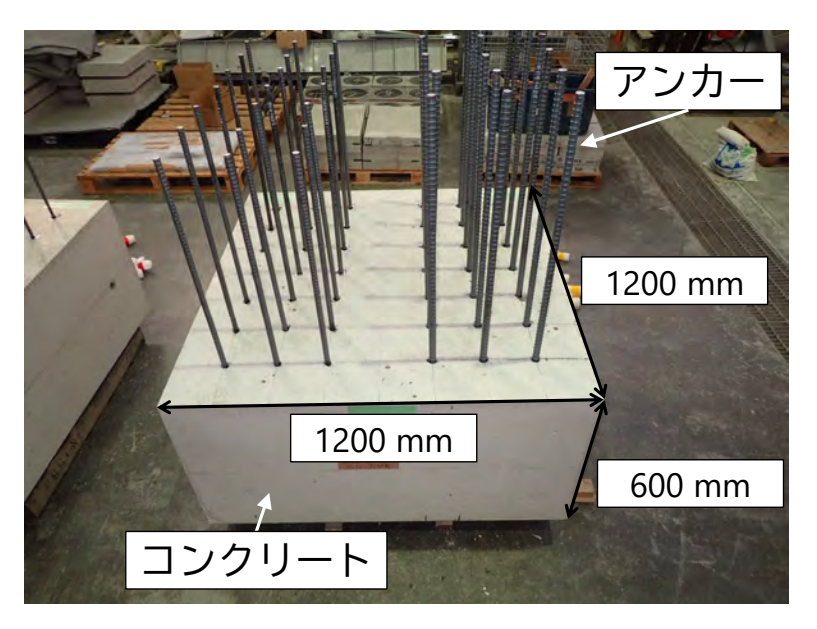
目的

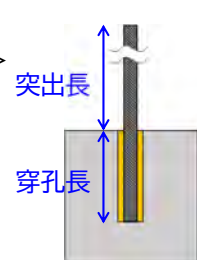
本研究では、接着剤充填率の異なる 突出長が長く・穿孔長が深い注入式接着系アンカーを対象

- 1. 超音波法で得られる反射エコーからアンカーの長さ
- 2. 衝撃弾性波法により得られる波形からパワー伝送比を 算出することで接着剤充填率

評価する方法について検討した。

供試体<接着系あと施工アンカー強度指定申請ガイドラインを参考> _{突出長}





3種類

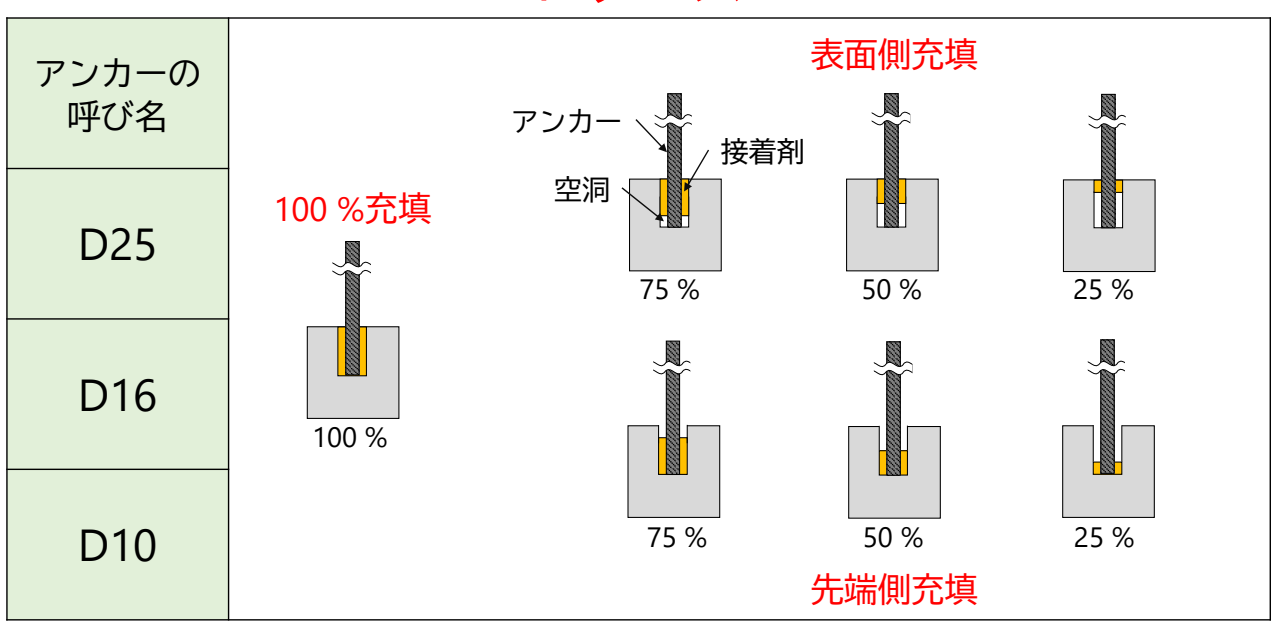
アンカーの 呼び名	突出長 (mm)	穿孔長 (mm)
D25	1000	300
D16	640	300
D10	400	200

突出長:40d (主筋の定着を想定)

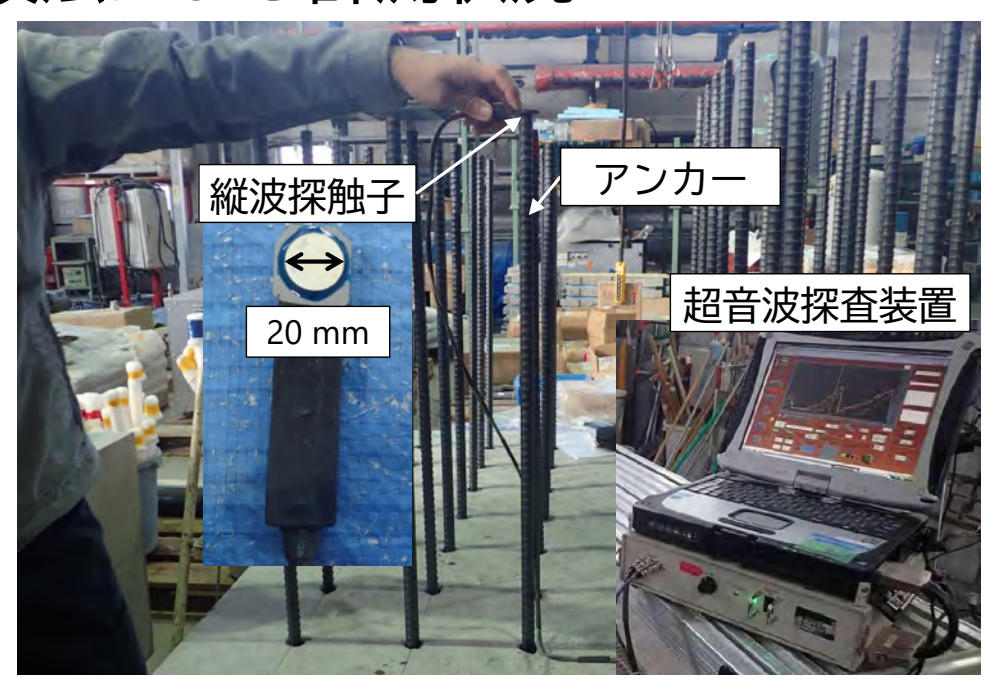
穿孔長: 20dかつ300 mm以下

接着剤充填率

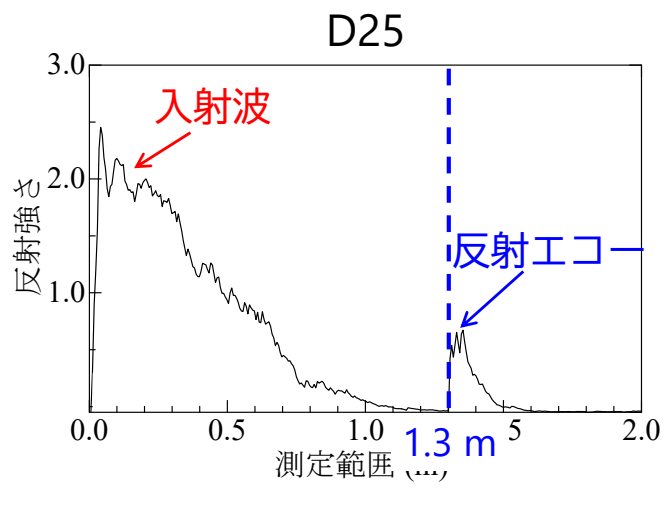
7 ケース



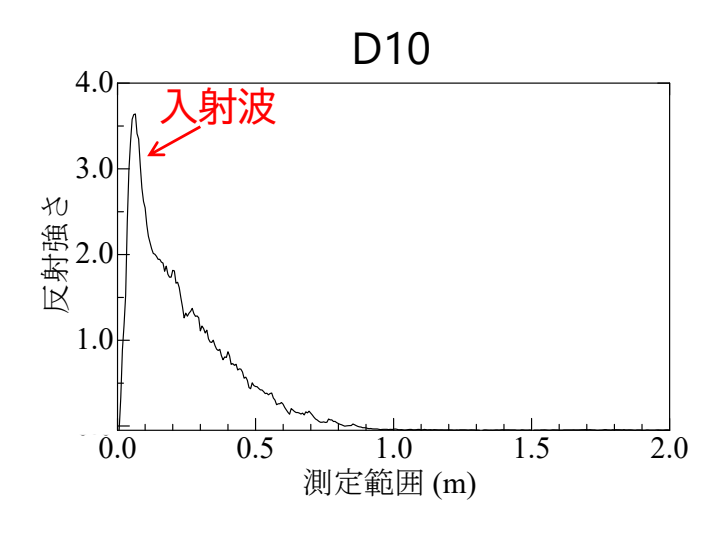
超音波法による計測状況



受信波形の例(充填率100%)

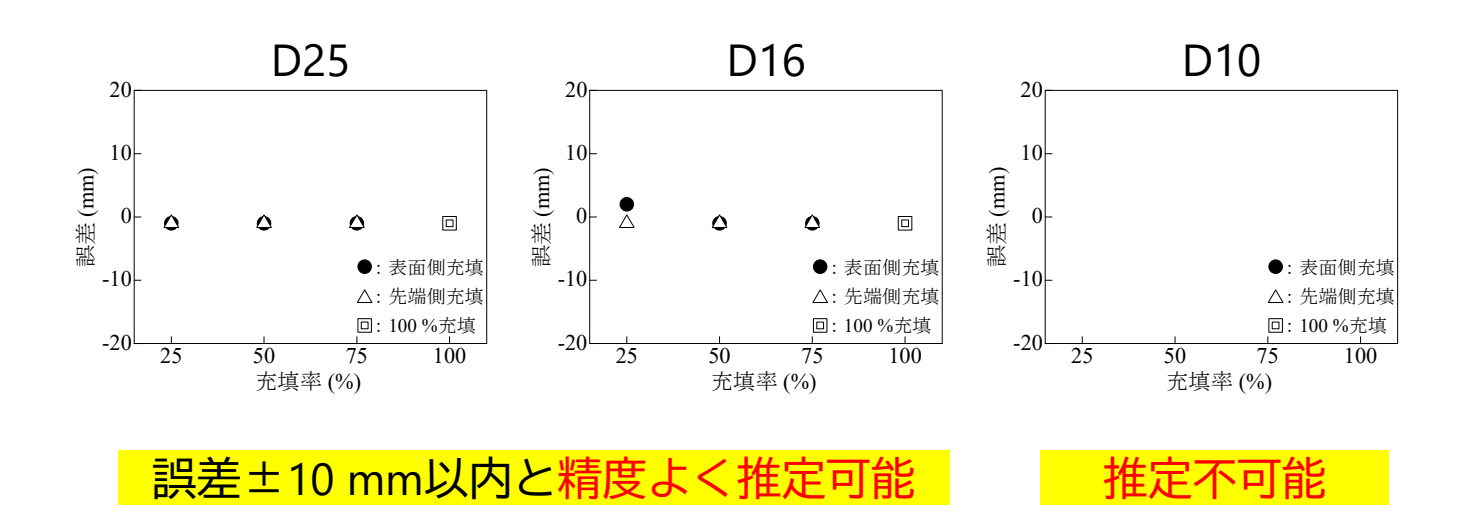


反射エコーを検出



反射エコーを検出できなかった

推定結果:アンカーの長さ



考察:探触子とアンカーの直径



超音波を適切に入力できていない/入力できたとしてもエネルギーが小さい

目的

本研究では、接着剤充填率の異なる 突出長が長く・穿孔長が深い注入式接着系アンカーを対象

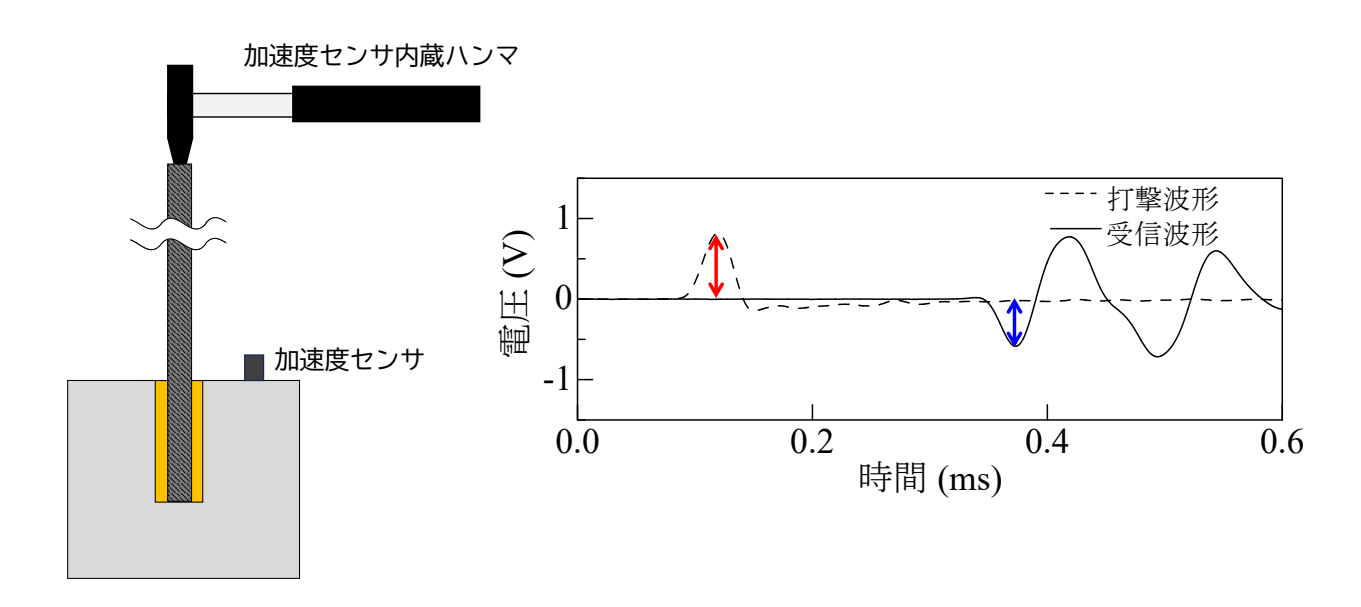
- 1. 超音波法で得られる反射エコーからアンカーの長さ
- 2. 衝撃弾性波法により得られる波形からパワー伝送比を 算出することで接着剤充填率

評価する方法について検討した。

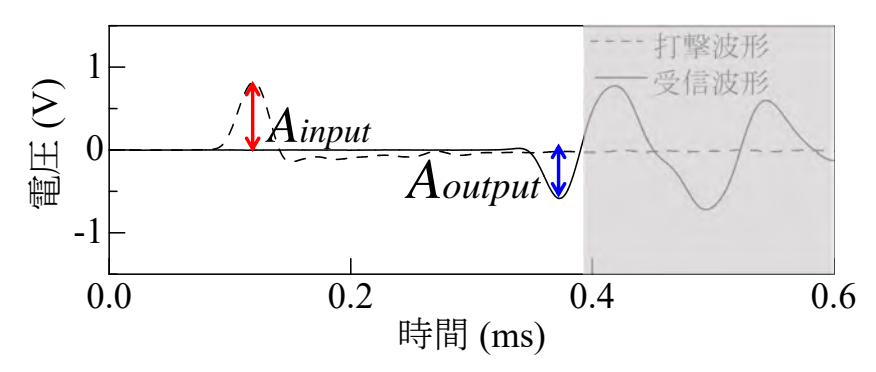
衝撃弾性波法による計測状況



受信波形の例(充填率100%)



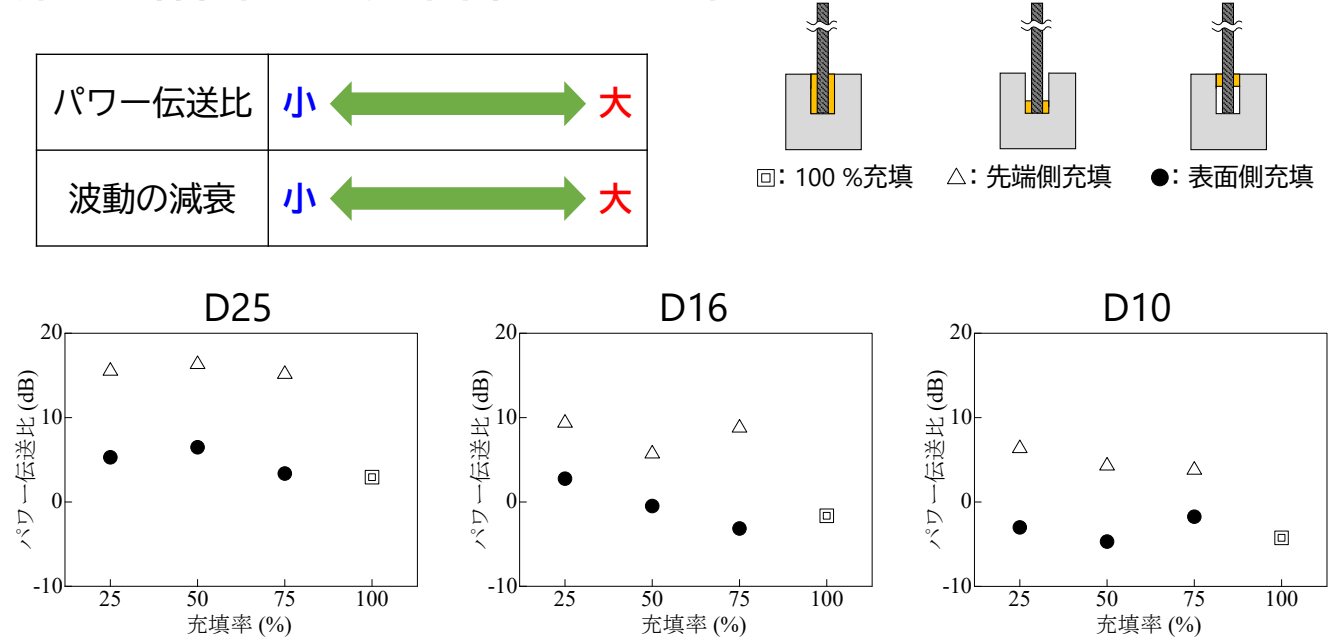
パワー伝送比: H (dB)



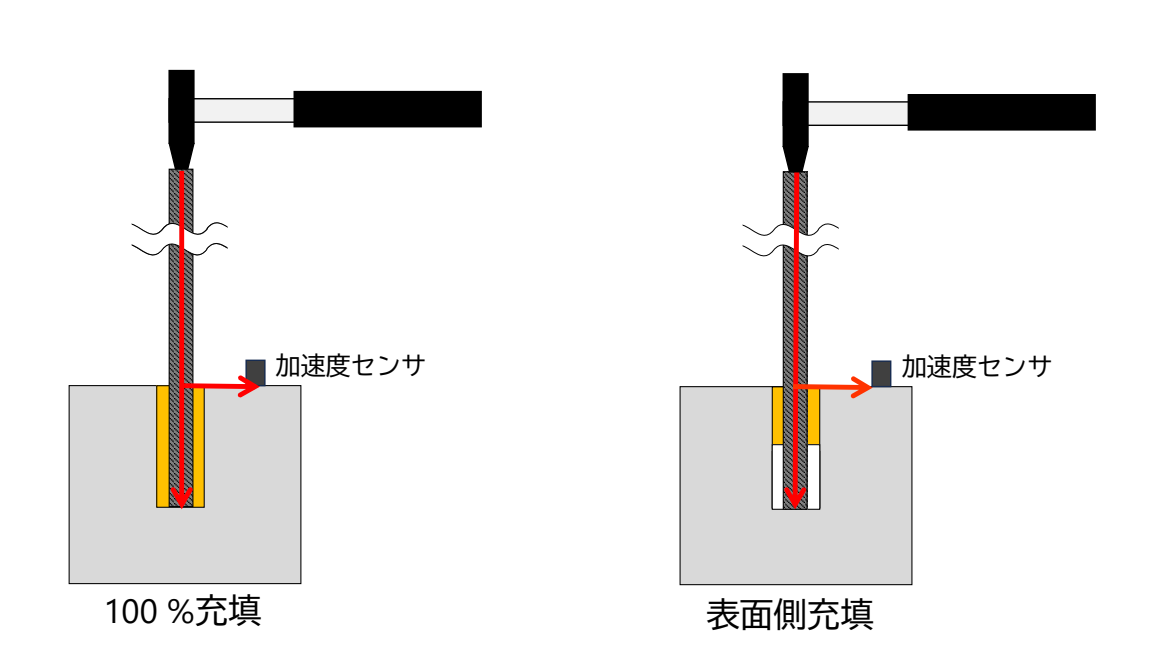
$$H = 20\log \frac{A_{input}}{A_{output}}$$

パワー伝送比	小	大
波動の減衰	小	大

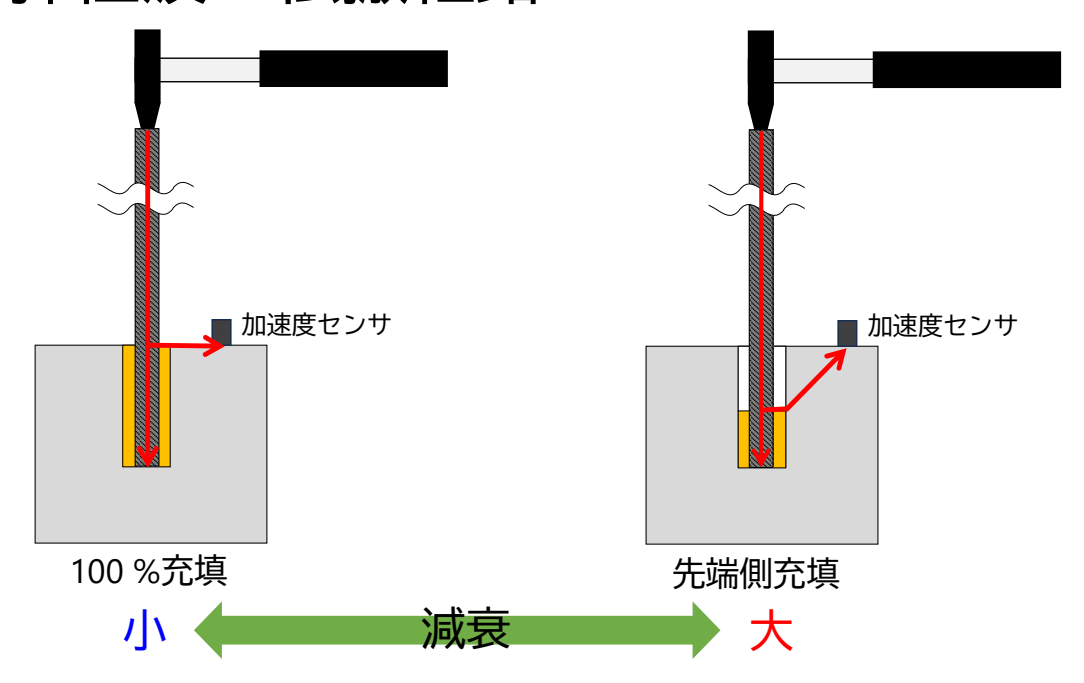
推定結果:接着材充填率



考察:弾性波の伝搬経路



考察:弾性波の伝搬経路



まとめ

アンカー筋の長さ

➤ D25, D16:

いずれの接着剤充填率においても,アンカー筋の長さ を精度よく推定することが可能。

接着剤充填率

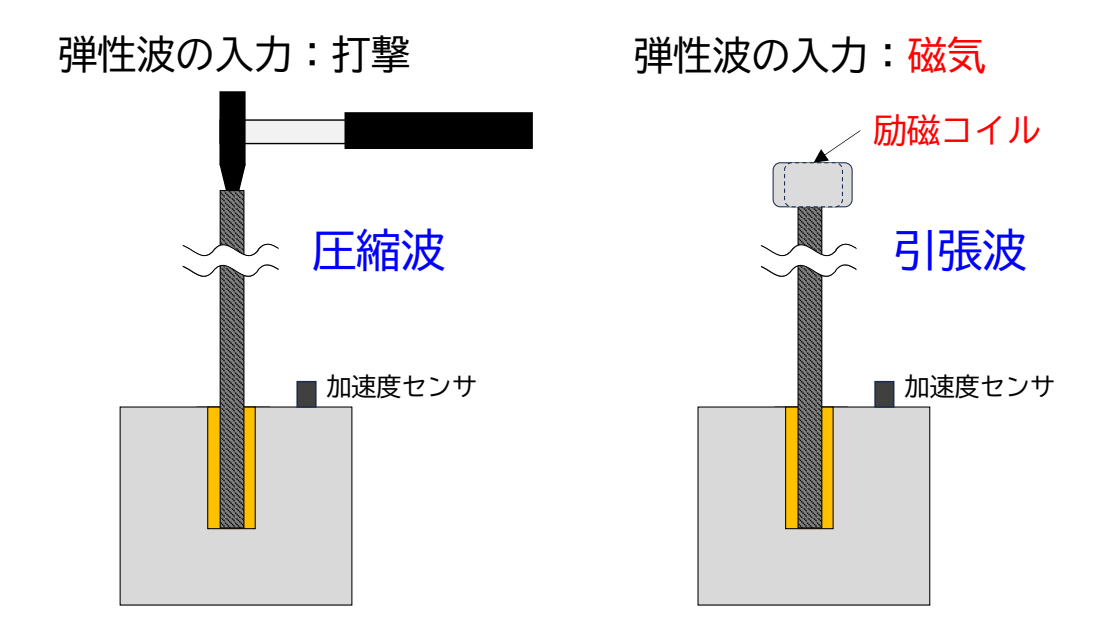
➤ D25, D16, D10:

コンクリート表面側の空洞の有無は判別可能 アンカー 先端側の空洞の有無は評価困難



今後さらなる検討が必要である。

今後の検討(継続して実施中)



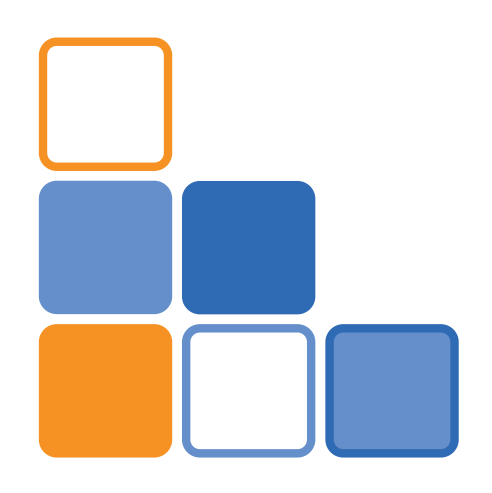
ご清聴ありがとうございました。

研究発表

5

「孔内清掃状態の異なる接着系あと施工アンカーの 電磁パルス法による施工完成度評価に関する研究」 大阪大学大学院工学研究科 地球総合工学専攻 特任研究員 服部 晋一 氏 2024年度 JCAA研究助成報告

孔内清掃状態の異なる接着系あと施工アンカーの 電磁パルス法による施工完成度評価に関する研究



大阪大学 大学院工学研究科 特任研究員 服部 晋一

1



発表内容

- はじめに
 - ✓ 研究背景
 - ✓ 研究目的
- 孔内状態の違いが周波数成分比に与える影響
 - ✓ 供試体概要
 - ✓ 孔内状態の定量化
 - ✓ 実験概要
 - ✓ 評価指標と測定結果
- ■引抜試験
 - ✓ 試験概要
 - ✓ 試験結果
- まとめ



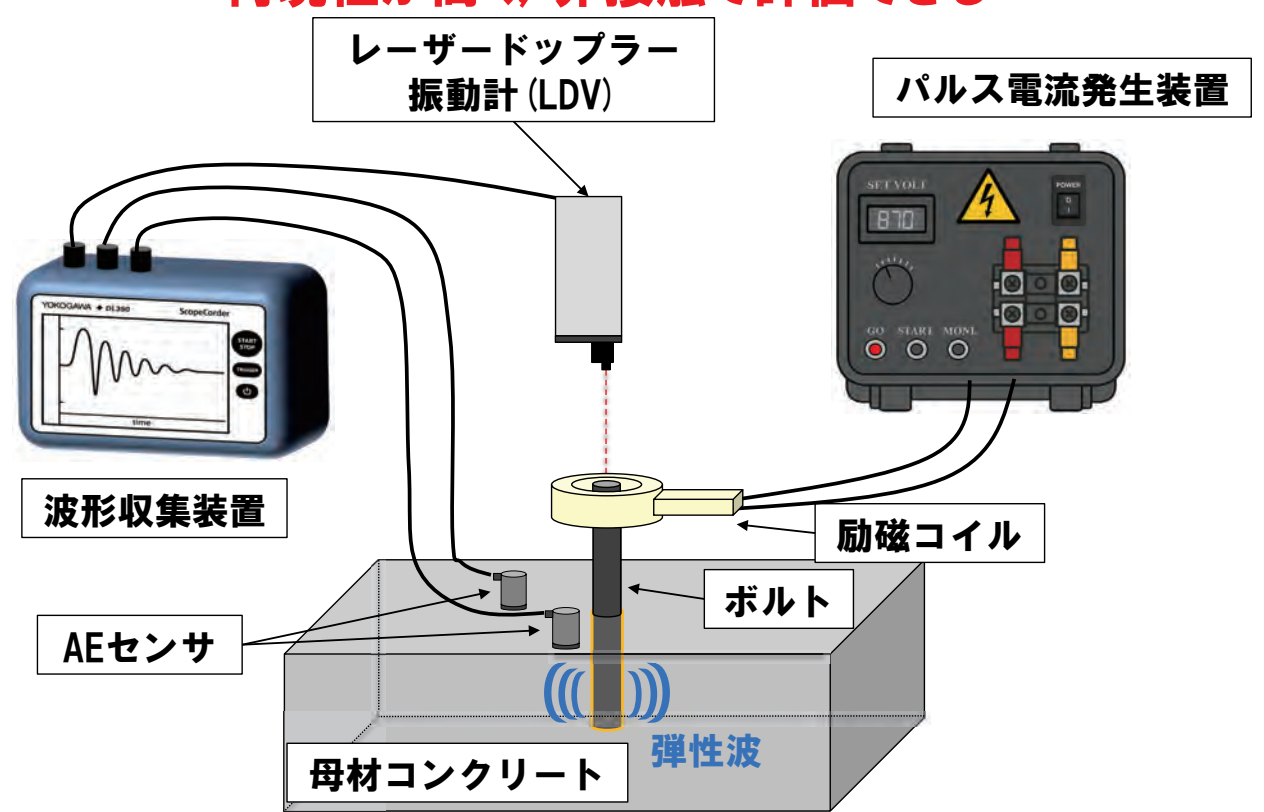
日本建設あと施工アンカー協会(JCAA)によると、 引抜試験の結果から孔内清掃不良による施工 不良の事例が報告されている

主な要因

- ✓ 接着系アンカーの固着メカニズム(コンクリート の凹凸やネジ山での樹脂硬化)の理解不足
- ✓ 孔内清掃作業(特にブラシ掛け)の重要性の 周知不足

研究背景 電磁パルス法とは

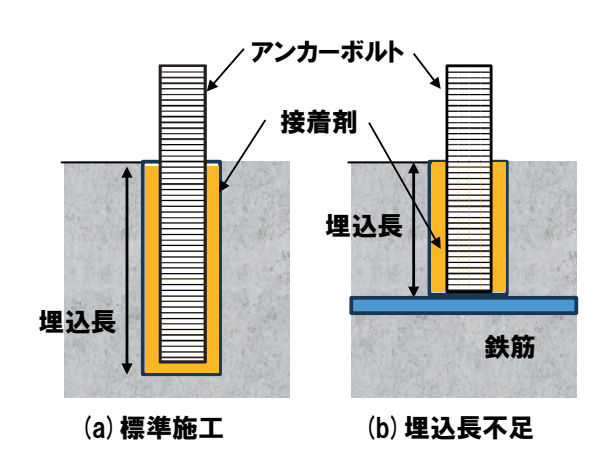
再現性が高く、非接触で評価できる





既往の研究での主たる評価事例

■施工段階の施工不良



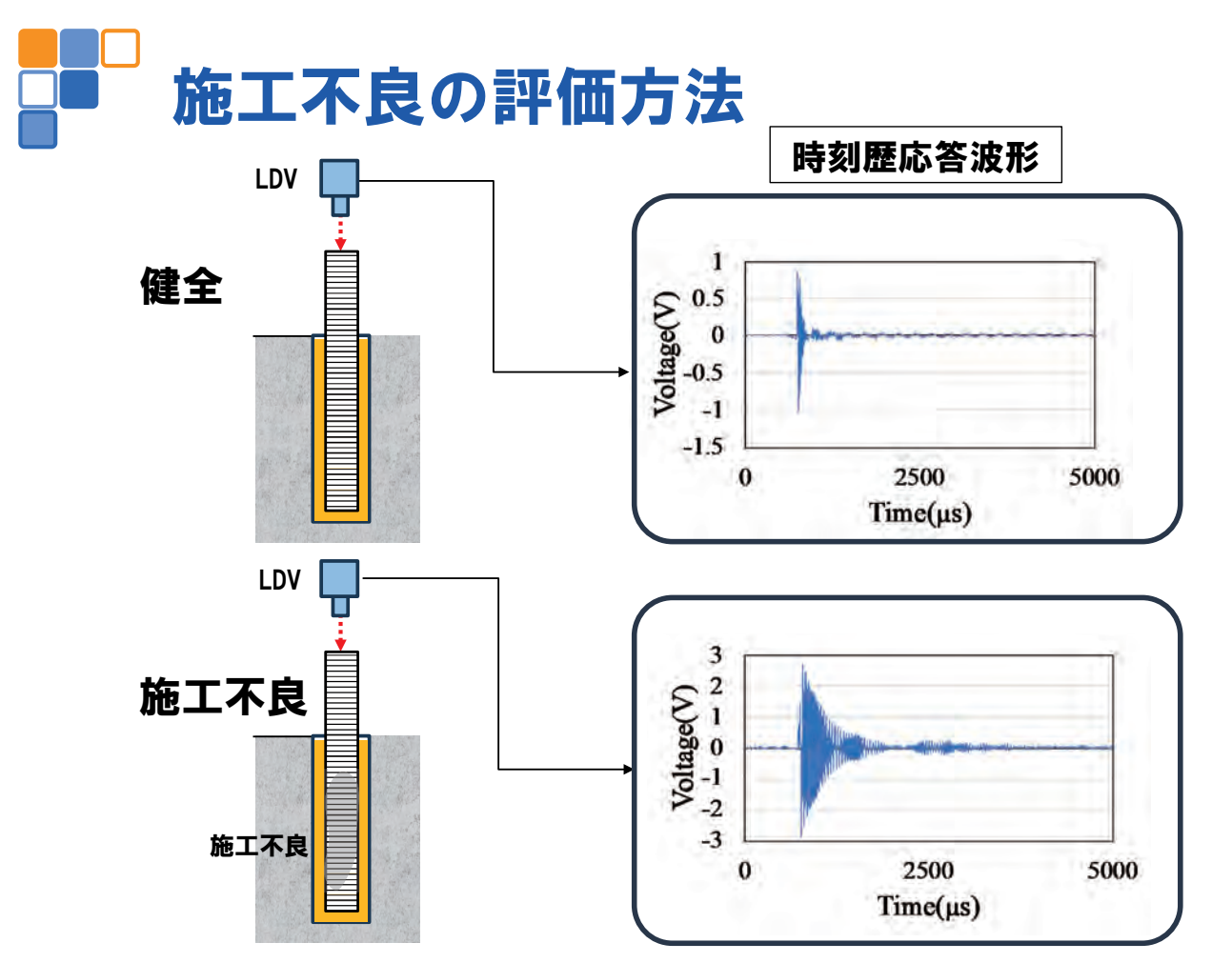
(a) 標準施工 (b) 接着剤充填不良

アンカーボルト

埋込長不足

充填不良

5

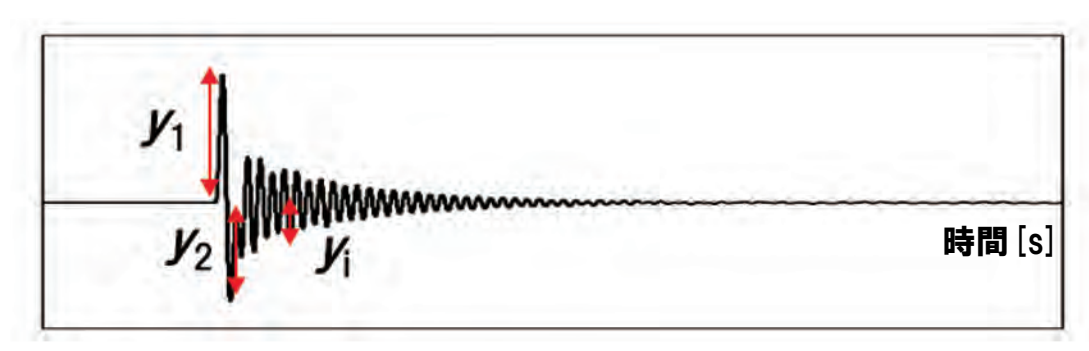




施工不良に用いる評価指標

波形エネルギーの定義

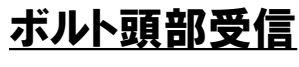
$$E = \sum_{i=1}^{n} y_i^2 = y_1^2 + y_2^2 + \dots + y_{n-1}^2 + y_n^2$$
(n=10,000)

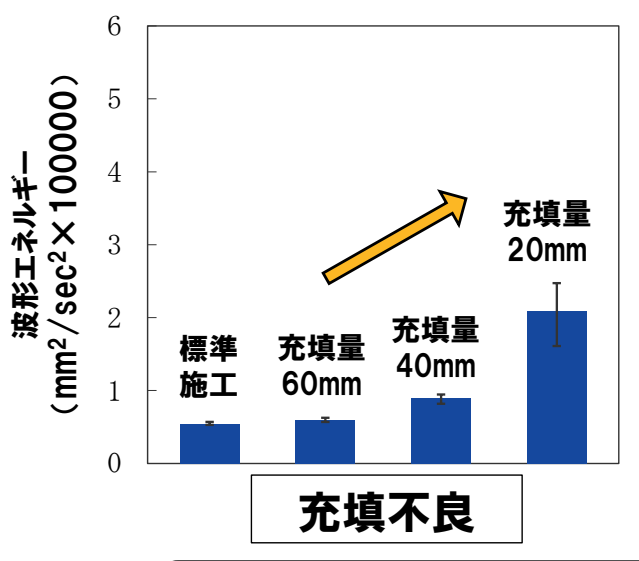


7

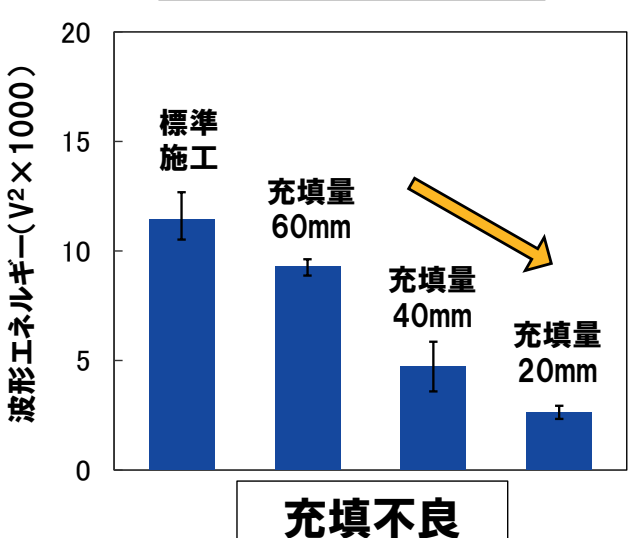


波形エネルギーによる評価事例





コンクリート表面受信



ボルト頭部では、波形エネルギーが増加する。 コンクリート表面では、波形エネルギーが減少する。



既往の研究事例

< 関東経済産業局> 戦略的基盤技術高度化支援事業(サポイン事業) 大阪大学 (株)アミック

【目的】

(H27年度~H29年度)

検査対象:施工直後(新設)のアンカーボルト 電磁パルス法による全数検査

● 検出目標:

引抜耐力が設計基準を下回るものを ほぼ100%検出することを目標とする。 アドバイザリ委員(委嘱)

他大学 道路管理会社 鉄道会社 ゼネコン アンカー協会(JCAA) 非破壊検査工業会

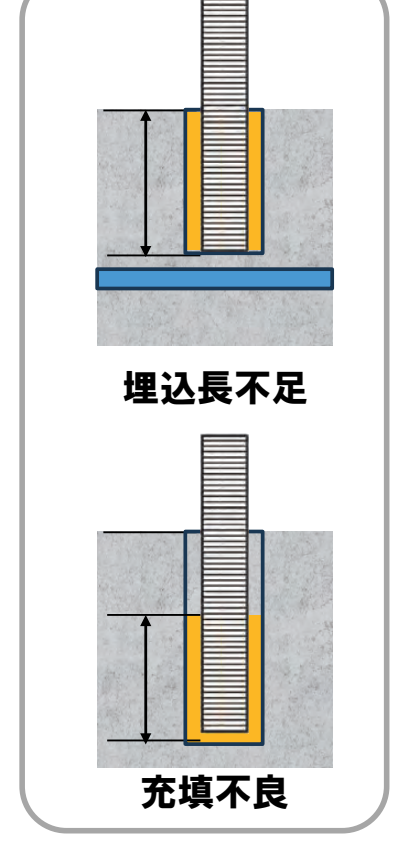


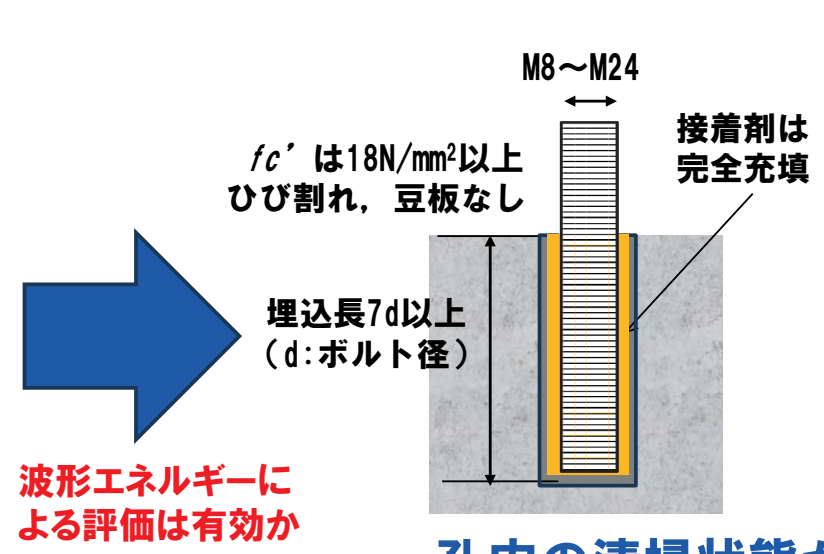




施工不良を模擬した試験体(JCAA技術センター)

本研究が対象とするあと施工アンカー





孔内の清掃状態が 異なるアンカー

孔内の清掃状態を非破壊で推定できる評価指標は?



研究の目的

孔内清掃不良による施工不良を非破壊で 検出可能な評価方法が求められている.



電磁パルスで加振した際の弾性波の 各種評価指標と清掃状態との関係を把握



研究の目的

本研究では、施工不良要因の一つである孔内清掃不良を 非破壊的に評価するための指標を見出すことを目的とし、 清掃状態の異なるアンカーを対象に電磁パルス法を用いた 実験的検討を実施した。

11

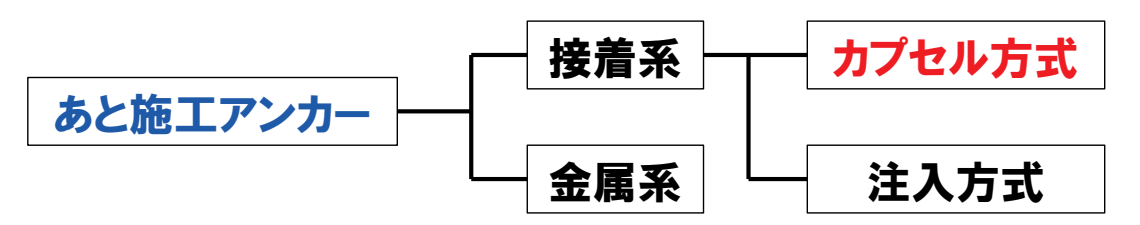


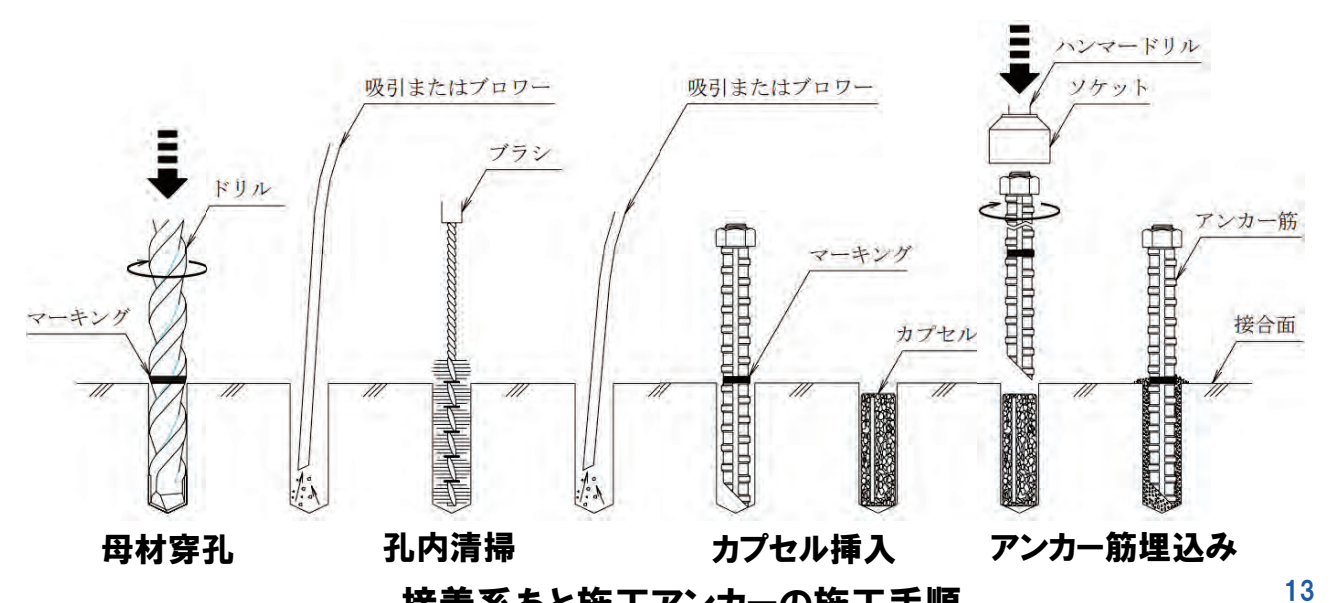
発表内容

- ■はじめに
 - ✓ 研究背景
 - ✓ 研究目的
- 孔内状態の違いが周波数成分比に与える影響
 - ✓ 供試体概要
 - ✓ 孔内状態の定量化
 - ✓ 実験概要
 - ✓ 評価指標と測定結果
- ■引抜試験
 - ✓ 試験概要
 - ✓ 試験結果
- まとめ



対象とするあと施工アンカー





接着系あと施工アンカーの施工手順



接着系あと施工アンカー



ねじの呼び:M16 (CB-M16×230V)

全長:230mm

鉄製. 光沢クロメート処理



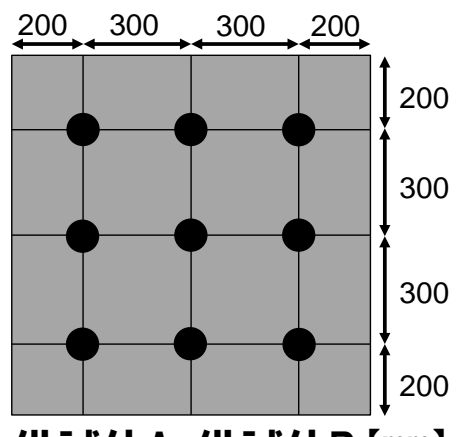
主剤:エポキシアクリレート樹脂(樹脂カプセルアンカー)

	カプセル 径 (mm)	カプセル長 (mm)	容量 (cm³)	使用ボルト	穿孔径 (mm)	穿孔長 (mm)	最大 引張荷重 (kN)	長期許容 引張荷重 (kN)	短期許容 引張荷重 (kN)
AP-16	17	125	21.5	M16,W 5/8 D16	19 20	130	62.8	25.4	38.1

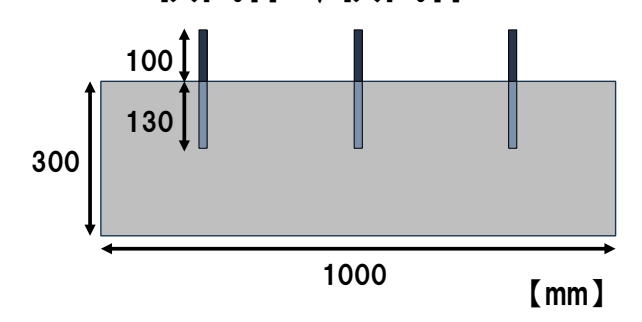


供試体概要

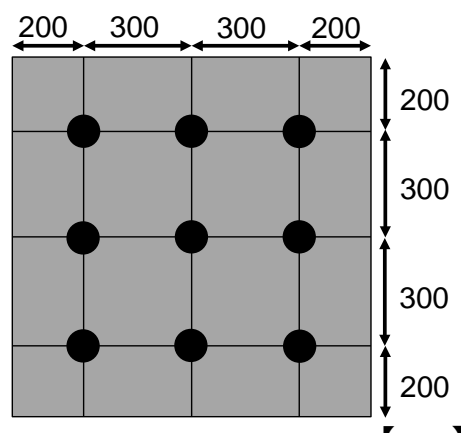
有資格者施工



供試体A, 供試体B [mm]



無資格者施工



供試体C, 供試体D【mm】

M16ボルト

ボルト径:16mm 孔の直径:19mm 突出長:100mm 埋込長:130mm

15



母材コンクリートの配合

母材コンクリートの配合表

粗骨材の	呼び強	W/C	スランプ	s/a	単位量(kg/m³) 水 セメント 細骨材 粗骨材			
最大寸法	度	(%)	(cm)	(%)	水	セメント	細骨材	粗骨材
20	W/C率 =50%	50.0	12	43.5	175	350	745	1009

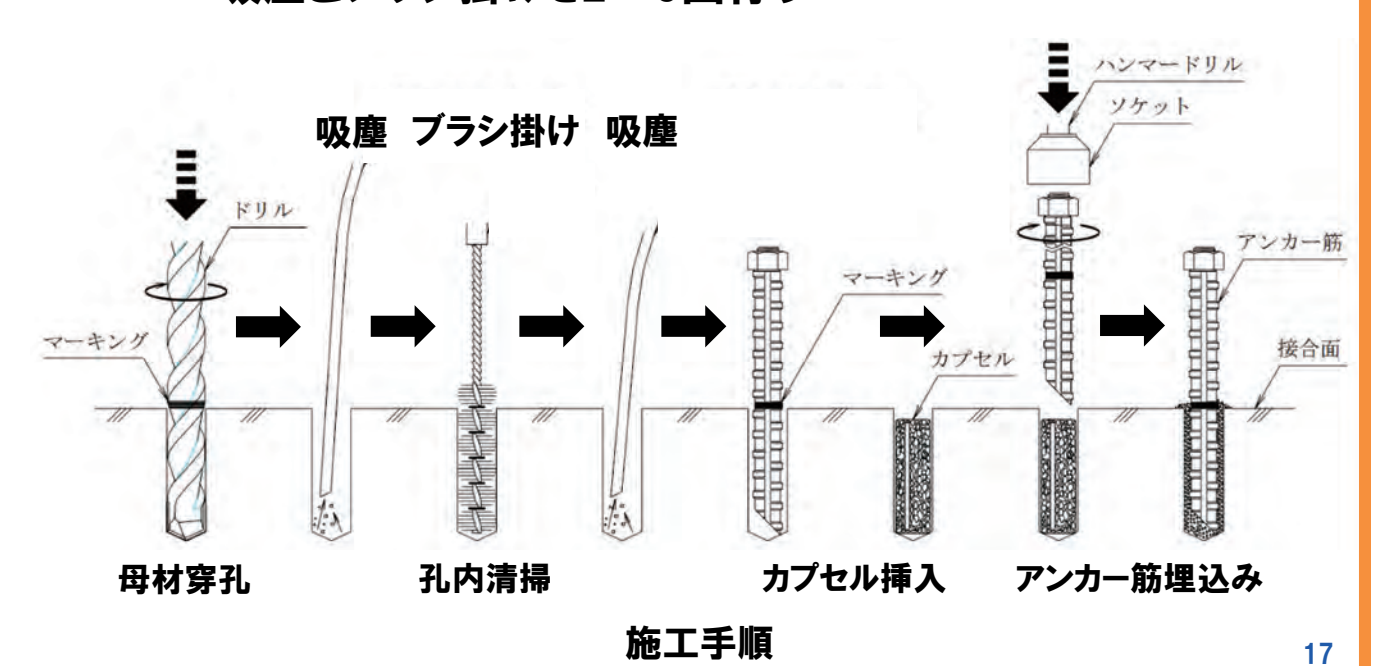




アンカーの施行要領

接着系あと施工アンカーの施工要領

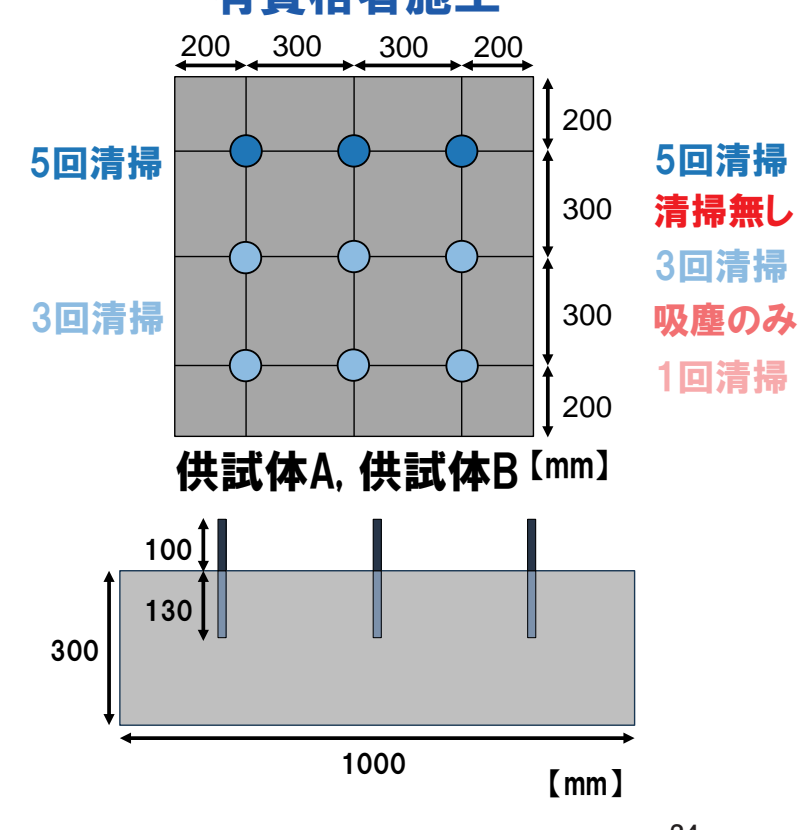
吸塵とブラシ掛けを2~3回行う



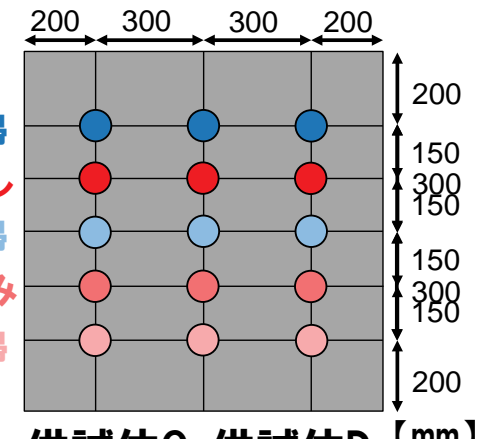


供試体概要

有資格者施工



無資格者施工



供試体C, 供試体D【mm】

M16ボルト

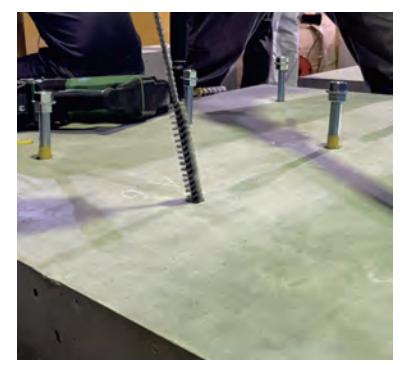
ボルト径:16mm 孔の直径:19mm 突出長:100mm 埋込長:130mm



施行状況(有資格者)







穿孔

吸塵

ブラシ掛け







カプセル挿入

アンカー筋埋込

19



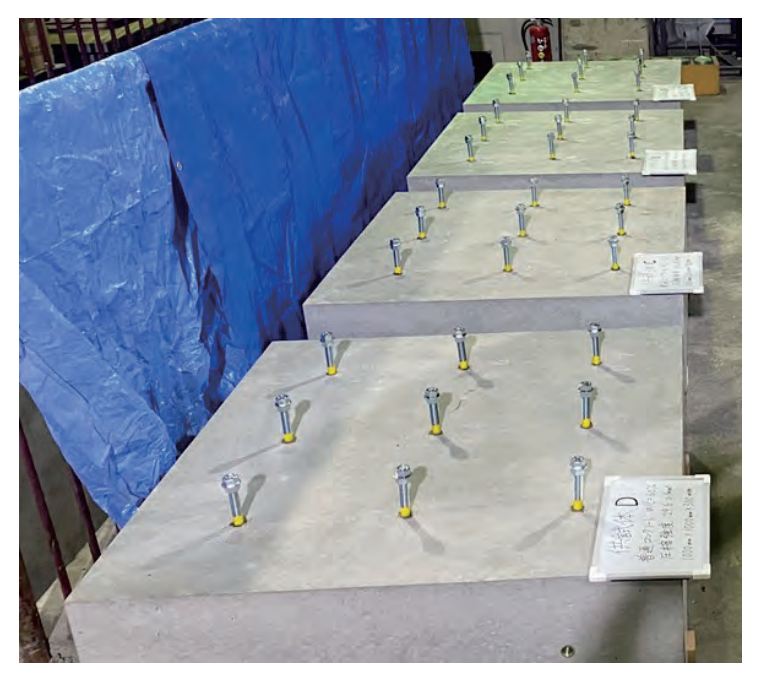
施行状況(無資格者)



学生により施工(施工要領について学習済み)



供試体概要



5回清掃, 3回清掃, 1回清掃



吸塵なし、清掃なしを追設。

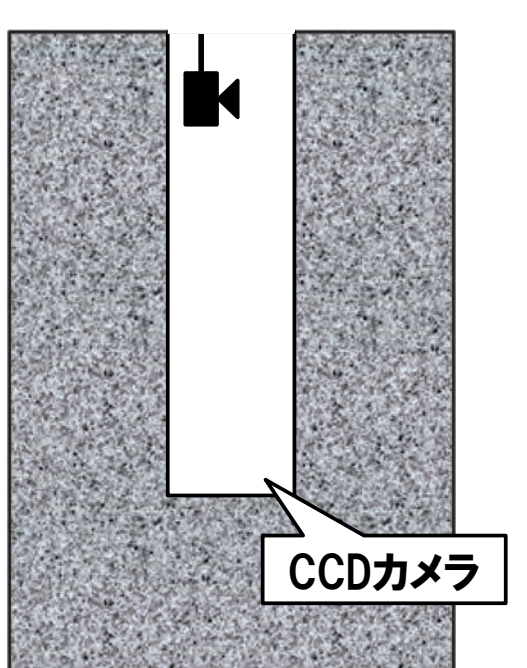


孔内清掃状態の定量化

孔内壁面を撮影した動画



フレーム抽出





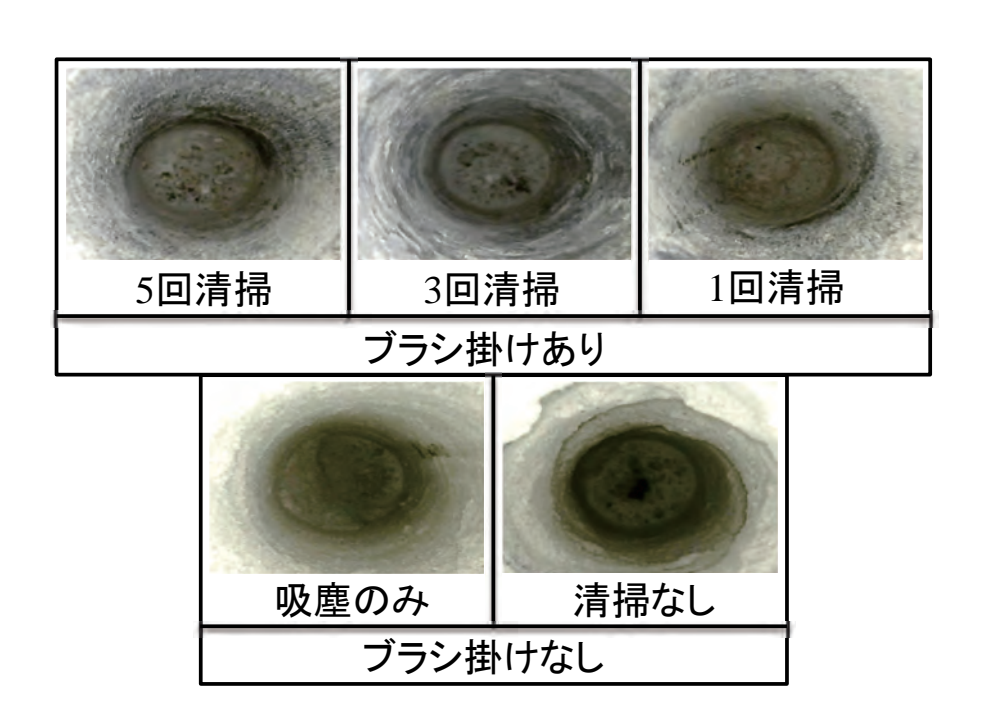








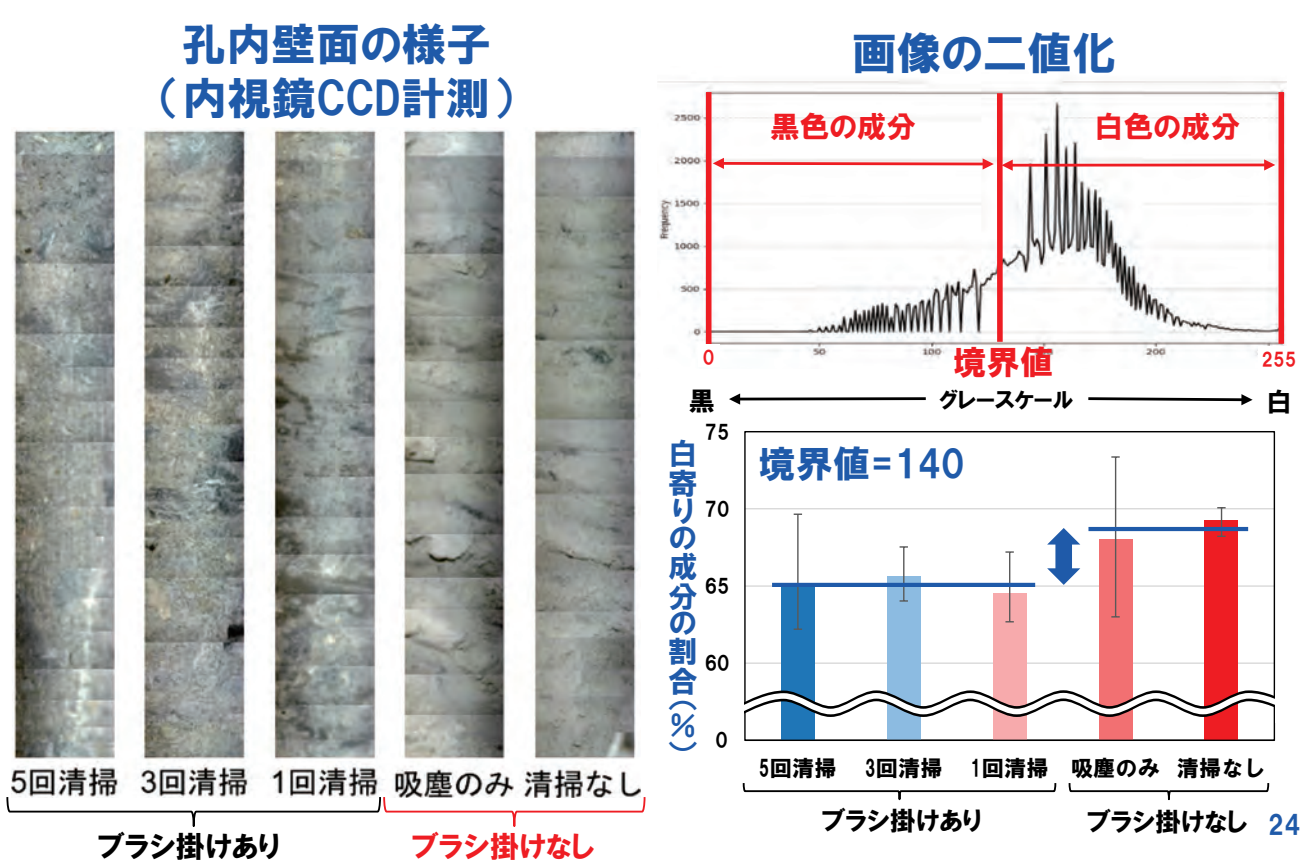
孔内清掃状態(孔底)



23



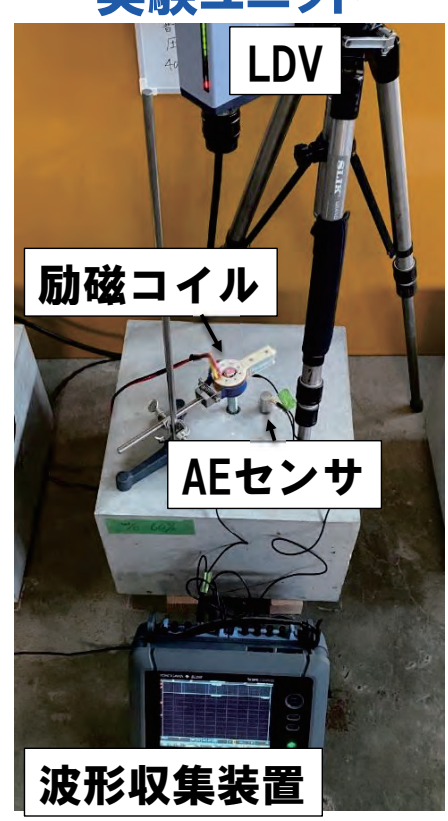
孔内清掃状態の定量化





実験概要

実験ユニット



測定条件

コイル巻数:8ターン 印加電圧:800V

受信方法:LDV(ボルト頭部)

AEセンサ(コンクリート表面)

測定回数:各測定点につき3回

AEセンサ貼り付け位置

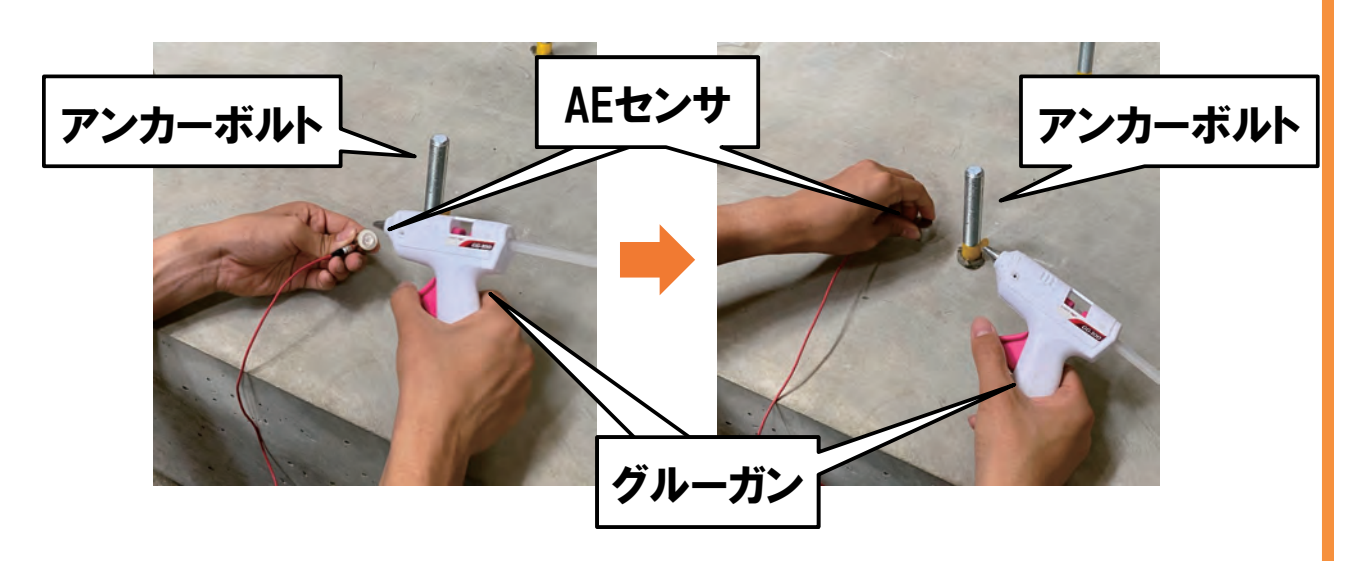


25



実験概要

AEセンサの貼り付け





実験概要

実験中の様子



励磁コイル設置の様子



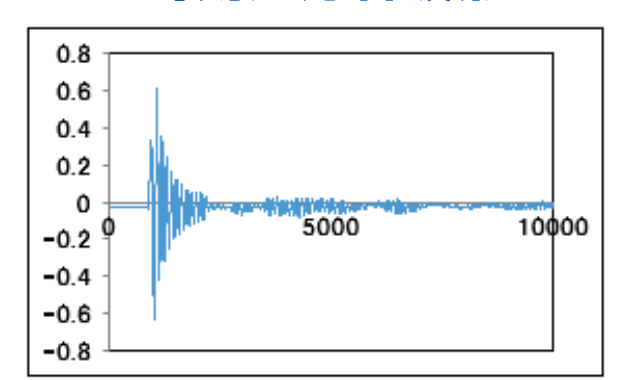
27



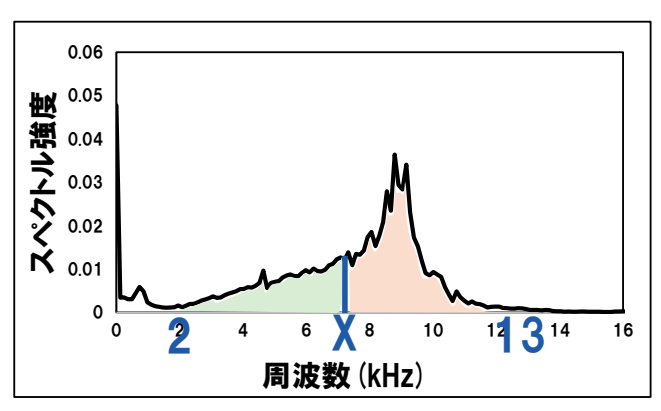
評価指標

高速フーリエ変換

時刻歷応答波形



周波数応答



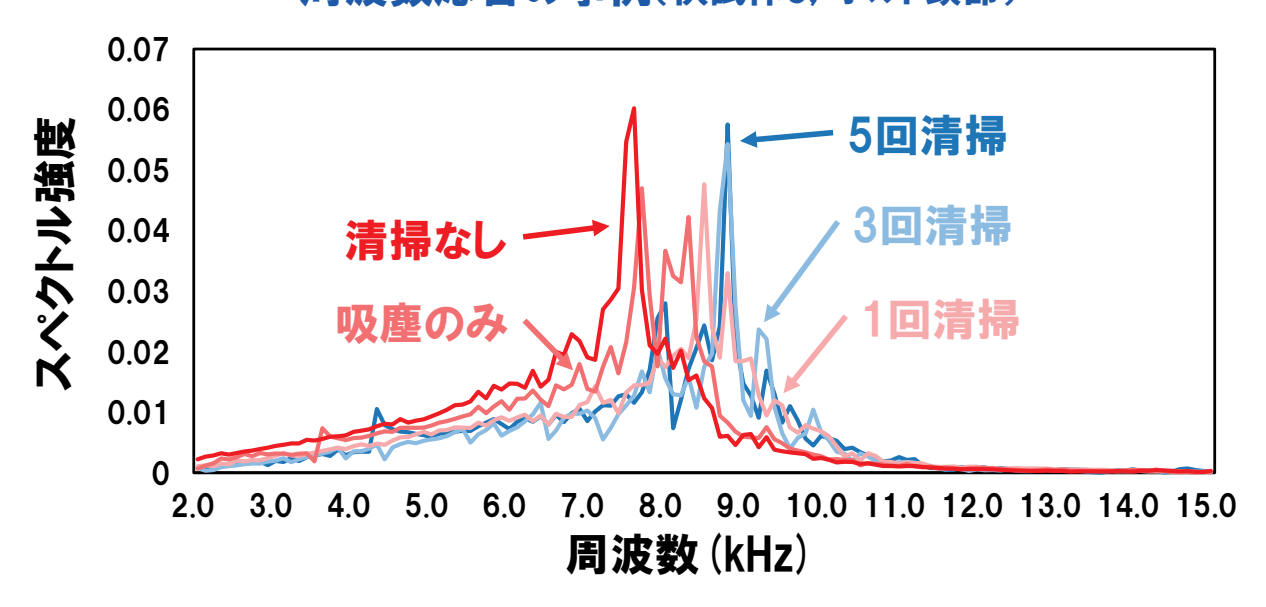
周波数成分比

Rf = X~13kHzの周波数成分 2~ X kHzの周波数成分



測定結果 (無資格者:周波数応答)

周波数応答の事例(供試体C, ボルト頭部)

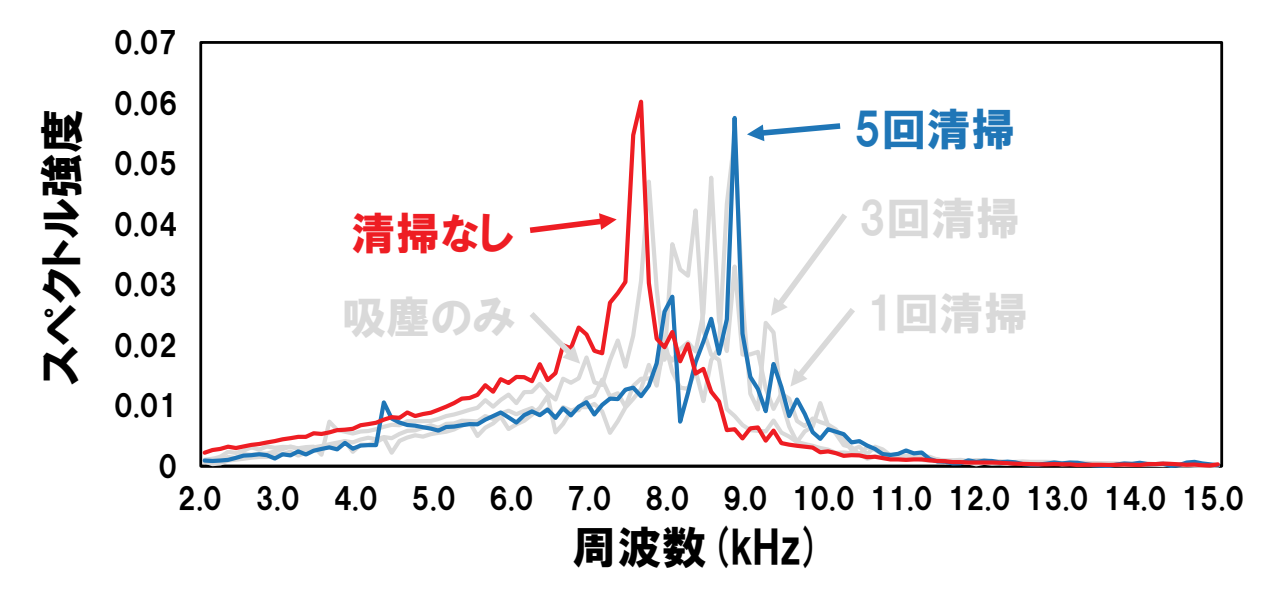


✓ 清掃状態が悪いと. 低周波成分が増加した



測定結果 (無資格者:周波数応答)

周波数応答の事例(供試体C, ボルト頭部)



- ✓ 清掃状態が悪いと、低周波成分が増加した
- > 周波数成分比を用いる

30



測定結果 (ピーク周波数)

境界値Xの設定

- 3σ法 -

正規分布に従うデータにおいて

平均 ± 3 g の範囲に

ほぼすべてのデータが入る

標準施工におけるピーク周波数

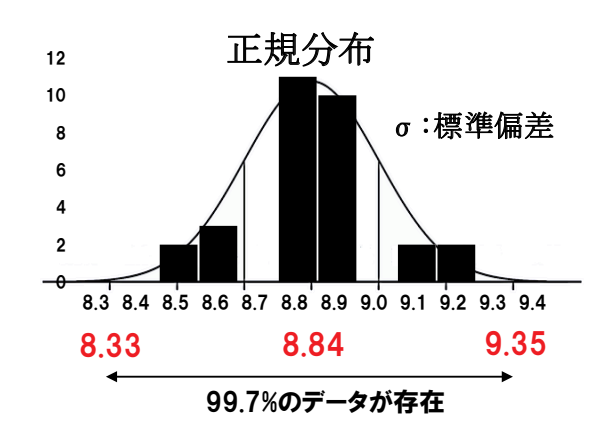
平均値 µ:8.84 kHz

標準偏差 σ:0.17 kHz

 $\mu + 3 \sigma = 8.84 + 3 \times 0.17$

=8.33.9.35

※サンプル数30



- 3 σ法に基づくと標準施工では、 ほぼすべてのデータのピーク周波数 が8.33~9.35kHzの範囲にある
- ✓ 周波数応答が8.3kHz以下の ピークを持つなら標準施工でない 可能性が高い
- ▶ 境界値Xを8.3kHzに設定した

21

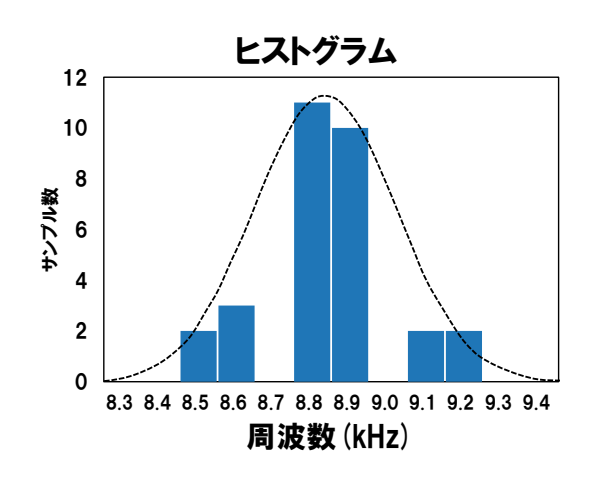


測定結果(ピーク周波数)

標準施工におけるピーク周波数

清掃条件	計測点	有資格者施工		無資格者施工	
		供試体A	供試体B	供試体C	供試体D
5回清掃	1	8.8	8.6	8.5	8.8
	2	8.9	8.9	8.8	8.8
	3	9.2	8.8	8.5	8.6
3回清掃	4	8.9	8.9	8.8	8.9
	5	8.9	8.9	8.8	8.8
	6	9.1	8.9	8.8	8.8
	7	9.1	8.6		
	8	8.9	8.9		
	9	9.2	8.8		

単位:kHz



平均値 μ:8.84 kHz 標準偏差 σ:0.17 kHz

 $\mu \pm 3 \sigma = 8.84 \pm 3 \times 0.17$

=8.33, 9.35



測定結果(周波数成分比)

- 1. 孔内状態の違いと周波数成分比の関係 5パターンの清掃条件で施工した供試体C.D
- 2. 資格の有無と周波数成分比の関係 供試体A~Dの標準施工(5回清掃、3回清掃)

33



0.5 試

0.4

0.3 0.2

0.1

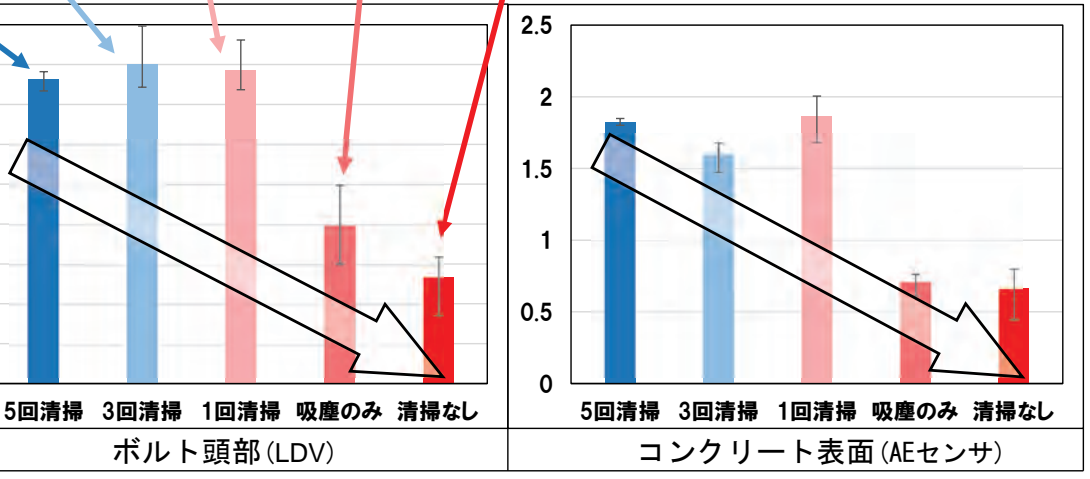
体

測定結果 (無資格者施工:周波数成分比)

縦軸:周波数成分比 横軸:清掃条件

8.3~13.0kHzの周波数成分 2~8.3kHzの周波数成分

5回清掃 3回清掃 1回清掃 吸塵のみ 清掃なし 0.9 8.0 0.7 供 0.6



ブラシ掛けあり ブラシ掛けなし

ボルト頭部(LDV)

ブラシ掛けあり ブラシ掛けなし

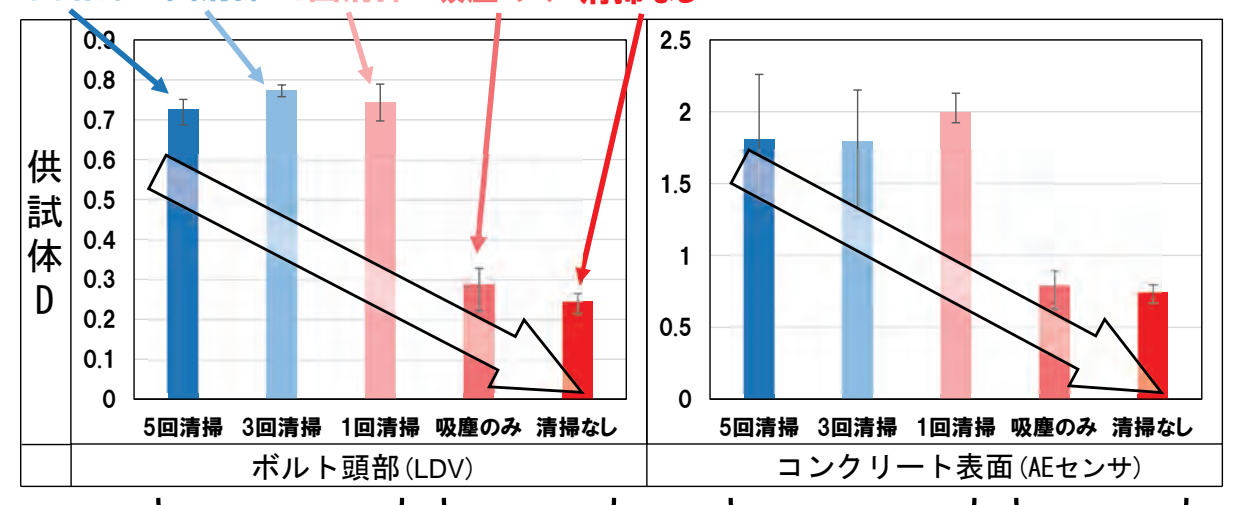


測定結果 (無資格者施工:周波数成分比)

縦軸:周波数成分比 横軸:清掃条件

 $R_f = \frac{8.3 \sim 13.0 kHz}{2 \sim 8.3 kHz}$ の周波数成分

5回清掃 3回清掃 1回清掃 吸塵のみ 清掃なし



ブラシ掛けあり ブラシ掛けなし

ブラシ掛けあり ブラシ掛けなし

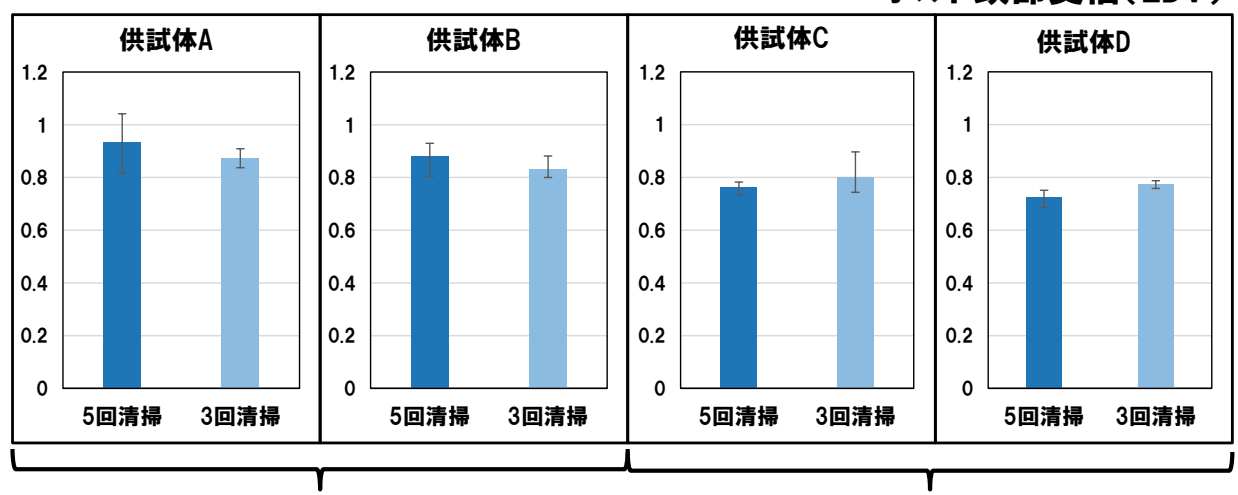
- ✓ 清掃状態が悪いと周波数成分比が小さくなる
- 戸標準施工における結果との比較により清掃不良を評価できる可能性が示唆された。

35



測定結果(標準施工)

ボルト頭部受信(LDV)



有資格者施工

- 無資格者施工
- ✓ 供試体間の指標値のばらつきは、有資格者施工と無資格者施工とでほぼ同程度であった。
- ▶ 資格の有無による施工完成度のばらつきの差は小さいが、 有資格者の周波数成分比の平均値は、無資格者のそれより 若干大きくなった。



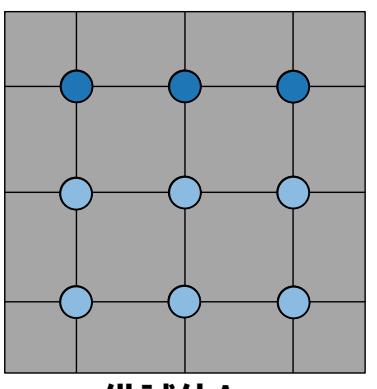
発表内容

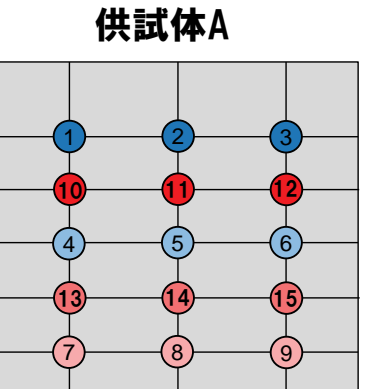
- ■はじめに
 - ✓ 研究背景
 - √ 研究目的
- 孔内状態の違いが周波数成分比に与える影響
 - ✓ 供試体概要
 - ✓ 孔内状態の定量化
 - ✓ 実験概要
 - ✓ 評価指標と測定結果
- ■引抜試験
 - ✓ 試験概要
 - ✓ 試験結果
- まとめ

37



引抜試験の概要





供試体C

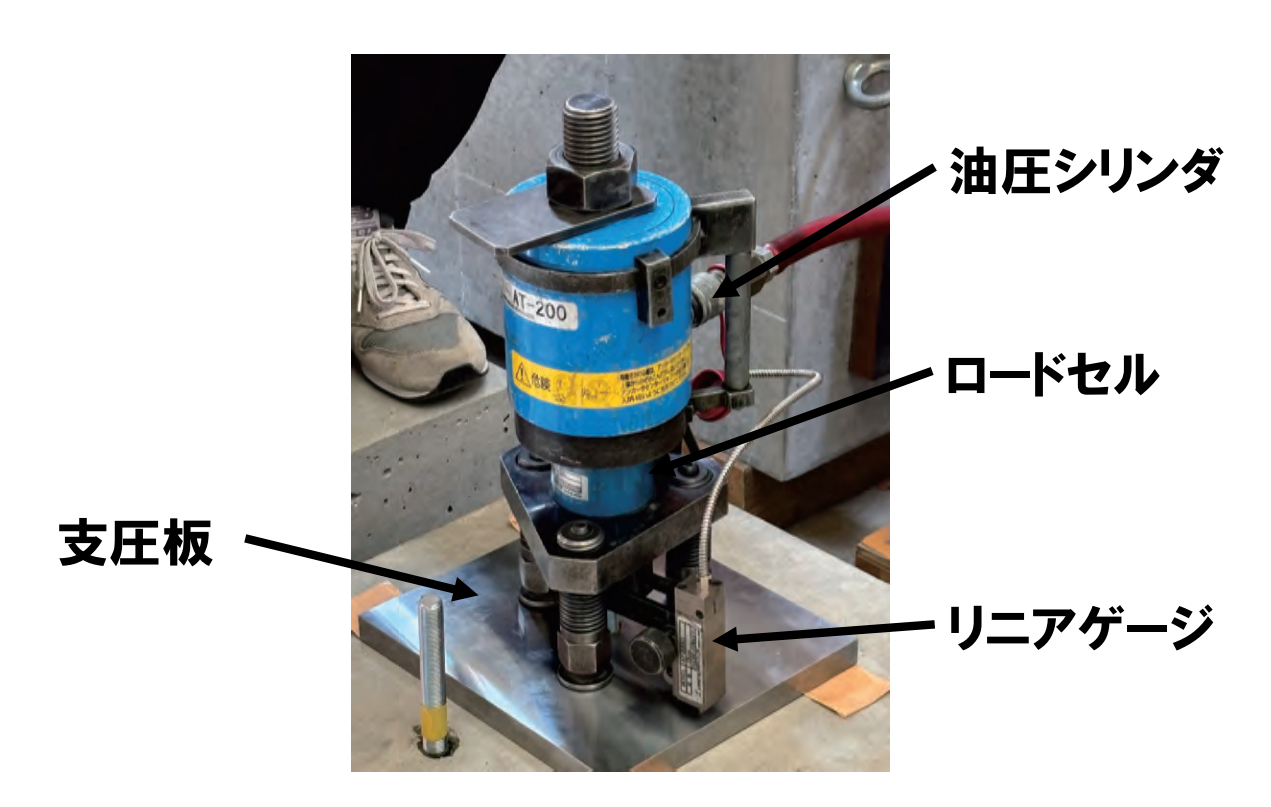
供試体B

10						
4						
		Ĭ				
13	14	15				
7		 9				

ブラシ掛け	清掃条件	
	5回清掃	
あり	3回清掃	
	1回清掃	
なし	吸塵のみ 清掃なし	



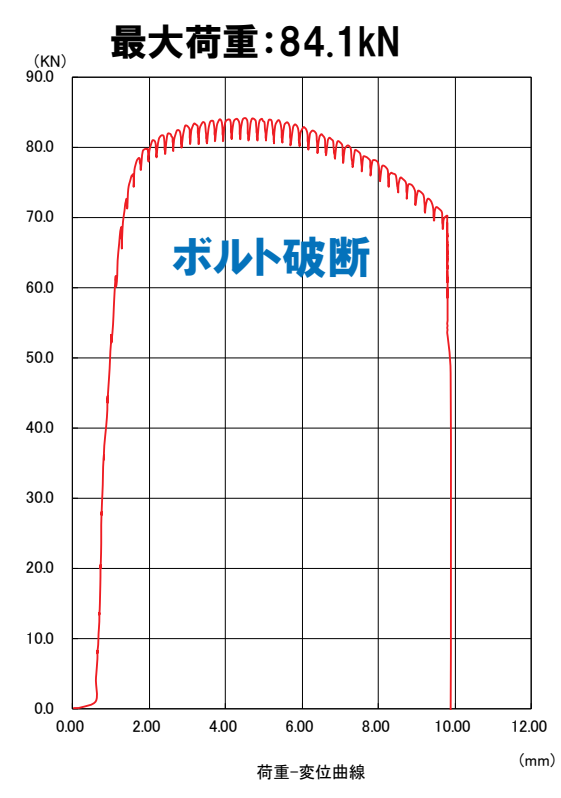
引抜試験(実験の様子)



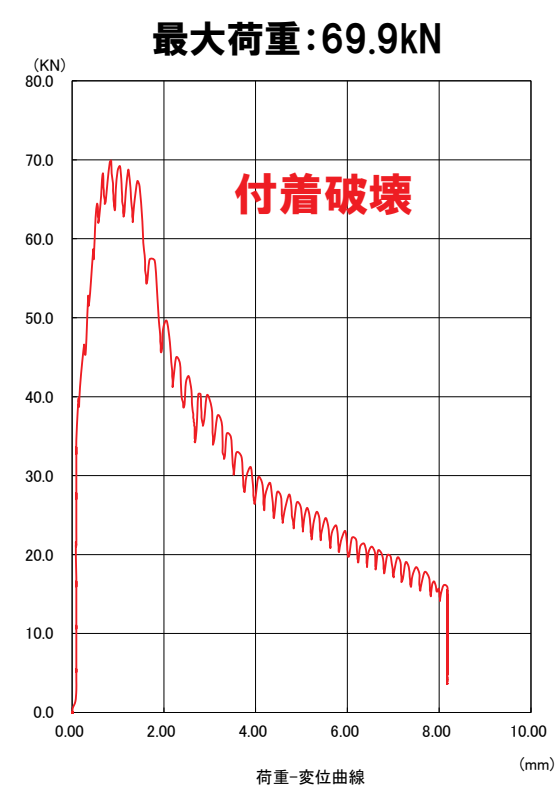
39



引抜試験結果(荷重変位関係)



C-13(吸塵のみ)



C-11(清掃なし)



引抜試験結果

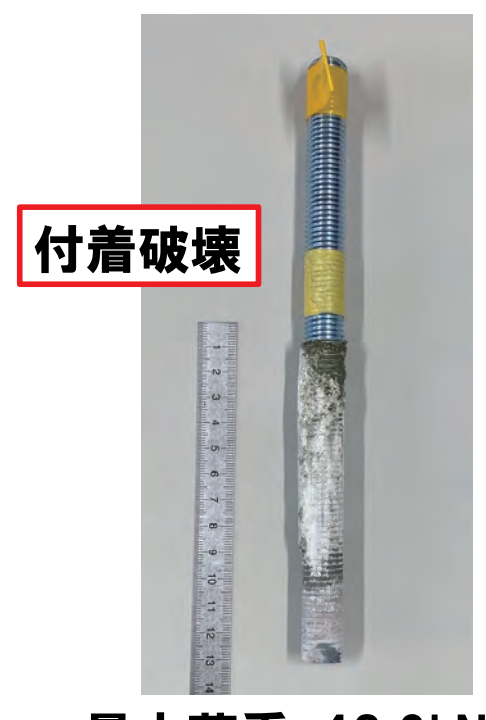
5回清掃





最大荷重:85.8kN

清掃なし



最大荷重:48.3kN

41



引抜試験結果

供試体番号	清掃条件	破壊モード	最大荷重 (kN)	最大荷重時の 変位(mm)
C-01	5回清掃	ボルト破断	85.8	2.95
C-02	5回清掃	ボルト破断	76.7	2.01
C-10	清掃なし	付着破壊	48.3	0.49
C-11	清掃なし	付着破壊	69.9	0.85
C-12	清掃なし	付着破壊	65.2	0.99
C-13	吸塵のみ	ボルト破断	84.1	4.51
C-14	吸塵のみ	ボルト破断	83.0	2.56
D-11	清掃なし	付着破壊	44.7	-1.41
D-12	清掃なし	付着破壊	26.0	0.97
D-13	吸塵のみ	ボルト破断	82.8	4.01



- 電磁パルス法による施工完成度の評価指標として, 低 周波成分に対する高周波成分の割合で算出される「周波 数成分比」を用いることで, 孔内清掃状態が異なる接 着系あと施工アンカー部を非破壊で評価できる可能性 が示された.
- → 孔内清掃が不足すると周波数成分比が小さくなる傾向 を明らかにし、ブラシ掛けを行わない清掃状態が周波 数成分比で評価できることを示した。
- ☆本実験の範囲内では有資格者の周波数成分比の平均値は、無資格者のそれより大きくなることが確認された。

43



研究成果

- 1. 串田賢洋, 片岡亮太, 服部晋一, 寺澤広基, 鎌田敏郎: 孔内 状態が異なる接着系あと施工アンカーの電磁パルス法による 施工完成度評価に関する研究, コンクリート構造物の補修, 補 強. アップグレード論文報告集, Vol. 24 pp. ???-??? 2025.10
- 2. 串田賢洋, 片岡亮太, 服部晋一, 寺澤広基, 鎌田敏郎: 電磁 パルス法による接着系あと施工アンカーの施工完成度評価に 関する研究, 土木学会年次学術講演会講演概要集, V-??? 2025.9

あと施工アンカー 技術講演会 2025年9月18日 一般社団法人 日本建設あと施工アンカー協会 〒 101-0031 東京都千代田区東神田 2-6-9

本書の内容の複製または改変などを当協会の許可なく行うことは禁止されています。